



الجمهورية الجزائرية الديمقراطية الشعبية

وزارة التعليم العالي و البحث العلمي

جامعة قاصدي مرباح ورقلة

قسم الهندسة المدنية و الري



مذكرة

مقدمة لنيل شهادة

ماستر

التخصص: الهندسة المدنية

المسار: هياكل

من إعداد الطالبتين:

سعدي آية

تلبي عصيلة

الموضوع

تأثير المعالجة الحرارية لمحروق الزجاج المستعمل كمععرض جزئي للإسمنت على الخصائص الفيزيائية والكيميائية للملاط.

المقدمة يوم: 2022/05/30

أمام لجنة المناقشة:

الاسم و اللقب	الدرجة العلمية	المؤسسة	الصفة
علي حيدر شاهد	أستاذ محاضر بـ	جامعة ورقلة	رئيس
السعيد عباني	أستاذ محاضر أ	جامعة ورقلة	متحسن
سفيان سقاي	أستاذ التعليم العالي	جامعة ورقلة	مؤطر



السنة الجامعية: 2022/2021

الشكر والعرفان

الحمد لله الذي أعاننا بفضله وكرمه

على إنجاز هذا العمل وإتمامه أما بعد، نتقدم بالشكر

الجزيل إلى كل من ساهم من قريب أو بعيد في إتمام

هذا العمل المتواضع ، نشكر الذي لم يدخل علينا بذاته

وتوجيهاته القيمة وكان عوناً وسندًا في كل وقت، الأستاذ

المشرف "سفيان سقاي"

ونشكر كل من ساعدنا ولو بالكلمة الطيبة، و جميع من كان بمثابة

الدعم المعنوي لإتمام هذا العمل، كما أتوجه بالتحية والشكر

إلى كافة الموظفين والعمال في المخابر الجامعية

الخاصة بكلية العلوم التطبيقية وخاصة

إلى الشيخ "عمي علي كشيد".

الإهـداء

نـهدـي ثـمـرة جـهـدـنـا المـتواـضـع إـلـى مـن فـتـحـا الـأـبـواب
فـي وـجـهـنـا وـمـهـدـا لـنـا سـبـيلـ النـجـاح وـوـضـعـا
أـقـدـامـنـا فـي مـسـلـكـ الـعـلـم وـاـذـهـرـ مـسـتـقـبـلـنـا
بـجـوـدـهـم إـلـى وـالـدـيـنـا وـإـلـى إـخـوـتـنـا وـكـلـ عـائـلـتـنـا مـنـ
كـبـيرـ وـصـغـيرـ وـإـلـى مـن جـمـعـتـنـا بـهـمـ مـقـاعـدـ
الـدـرـاسـة وـكـلـ أـصـدـقـائـنـا.

.....	فأئمة الجداول	VIII
.....	فأئمة الاشكال	VII
.....	ملخص	VII
01.....	مقدمة عامة	VII
الفصل الاول: تدوير النفايات الصلبة		
02	مقدمة	I
02	لحة تاريخية حول تدوير النفايات	II
02	النفايات الصلبة	III
02	تعريف النفايات الصلبة	-1- III
03	أنواع النفايات الصلبة	-2- III
04	إعادة تدوير النفايات في مجال الهندسة المدنية.....	IV
05	نفايات الزجاج و استعمالاتها.....	V
05	تعريف الزجاج.....	-1- V
06	كمية نفايات الزجاج في العالم وفي الجزائر	-2- V
06	مسحوق الزجاج.....	-3- V
06	خصائص مسحوق الزجاج.....	-4- V
07	ثمین مسحوق نفايات الزجاج في مجال البناء.....	-5- V
07	الدراسات السابقة لاستخدام نفايات الزجاج في مجال البناء.....	-6- V
08	خاتمة	VI
الفصل الثاني: صناعة الاسمنت		
09	مقدمة	I
09	الاسمنت	II
09	تعريف الاسمنت	-1- II
09	صناعة الاسمنت البروتلاني	-2- II
10	الأثر البيئي و الغازات المبعثة من صناعة الاسمنت	III
11	التفاعل البوزولي	IV
11	تعريف التفاعل البوزولي في الاسمنت	-1- IV
12	تفاعل الزجاج البوزولي	-2- IV
13	خاتمة	V
الفصل الثالث: المواد و المنهجية التجريبية		
14	مقدمة	I
14	المواد و الطرق	II

14	التجربة.....	
14	تجارب خصائص	- 1- II
14	الرمل.....	- 1-1- II
14	مكافي الرمل(NF P18-59).....	- 1-1- A II
16	الهدف.....	- 1-1- B II
16	مراحل	- 1-1- T II
16	التجربة.....	- 2-1- II
16	أدوات	- 2-1- A II
16	التجربة.....	- 1-2-1- II
17	المكثفة الخجمية للرمل(NF P 18-555).....	- 2-2-1- II
17	المكثفة المطلقة (NF P18-558).....	- 2-1- B II
17	تعريف المكثفة المطلقة.....	- 2-2-1- B-1 II
18	مراحل التجربة.....	- 2-2-1- B-2 II
18	المكثفة الظاهرية (NF P94-064).....	- 3-1- II
18	تعريف المكثفة الظاهرية	1-3-1- II
20	مراحل التجربة	2-3-1- II
20	التحليل الحبيبي (الغربلة) (NF P18-560).....	- 2- II
22	الهدف.....	1-2- II
23	معامل النعومة.....	1-2- II
23	تجارب خصائص مسحوق الزجاج.....	- 3- II
23	مسحوق الزجاج.....	1-3- II
24	الخصائص الكيميائية لمسحوق الزجاج.....	1-1-3- II
25	تحضير الملاط.....	2-1-3- II
25	قابلية عمل الملاط.....	- 4- II
26	المدف من التجربة.....	- 5- II
26	مراحل التجربة.....	- 6- II
26	الاسمنت البورتلاندي.....	- 7- II
27	خصائص المياه المستعملة.....	1-7- II
27	القولبة (تحضير العينات).....	2-7- II
	سرعة انتشار الموجات فوق الصوتية (NF P18-418).....	
	الهدف.....	- III
	مبادئ التجربة.....	
	المقاومة الميكانيكية للملاط.....	

28 مقاومة الانحناء (NF P18-433)	- 1- III
29 مقاومة الضغط (NF P18-455)	- 2- III
29 مؤشر الشاطط البوزوولي (IAP)	- IV
 خاتمة	- V
الفصل الرابع: السائع و مناقشتها		
30 خصائص الرمل.....	- I
30 خلطات الملاط المختلفة.....	- II
31 سرعة انتشار الموجات فوق الصوتية	III
32 الكثافة.....	- IV
34 مقاومة الانحناء.....	- V
36 مقاومة الضغط.....	- VI
38 مؤشر الشاطط البوزوولي.....	- VII
38 مناقشة السائع.....	- VIII
42 خاتمة عامة.....	
 المراجع	

قائمة الجداول

03 جدول معدل إنتاج التفانيات الصلبة المترية في بعض دول العالم.....	- جدول 1-1
11 انبعاثات 'CO ₂ ' (بالطن/لكل طن اسمت).....	- جدول 2-1
15 جدول يوضح نوعية الرمال.....	- جدول 3-1
19 جدول يوضح الكميات المتبقية و المرفوعة في تجربة الغربلة.....	- جدول 3-2
19 جدول يوضح مجالات وحدة النعومة.....	- جدول 3-3
24 نوع الملاط حسب زمن التشغيل.....	- جدول 3-4
25 التركيب الكيميائي للكلنكر.....	- جدول 3-5
25 التركيب المعدي للكلنكر	- جدول 3-6
25 الخصائص الفيزيائية لمياه المستعملة	- جدول 3-7
27 تصنیف الملاط حسب سرعة انتشار الموجات فوق الصوتية	- جدول 3-8
30 الكميات المستعملة خلطة الملاط	- جدول 4-1

قائمة الاشكال

04	أنواع النفايات الصلبة.....	الشكل-1
05	البنية الكيميائية للرجاج.....	الشكل -1
06	صورة مسحوق الرجاج.....	الشكل -1
09	الاسمنت البورتلاندي.....	الشكل -2
10	مخطط يوضح مراحل صناعة الاسمنت.....	الشكل -2
12	مؤشرات النشاط البوزولي للرجاج المستخدم في ظروف مختلفة.....	الشكل -2
15	تجربة مكافحة الرمل.....	الشكل -3
16	أدوات تجربة مكافحة الرمل.....	الشكل -3
16	تجربة الكثافة المطلقة.....	الشكل -3
17	تجربة الكتلة الحجمية المطلقة.....	الشكل -3
18	تجربة الكثافة الظاهرية.....	الشكل -3
18	سلسلة الغرائب المستعملة.....	الشكل -3
20	منحنى البياني للتوزيع الحبيبي.....	الشكل -3
21	مخطط يوضح مراحل سحق الرجاج و معالجته.....	الشكل -3
22	خصائص الكيميائية لمسحوق الرجاج V_0	الشكل -3
22	خصائص الكيميائية لمسحوق الرجاج V_{100}	الشكل -3
23	خصائص الكيميائية لمسحوق الرجاج V_{200}	الشكل -3
24	مقياس قابلية عمل الملاط.....	الشكل -3
24	مواد الملاط الشاهد.....	الشكل -3
24	مواد الملاط مسحوق الرجاج.....	الشكل -3
26	مراحل إعداد العينات.....	الشكل -3
27	تجربة سرعة انتشار الموجات الفوقي صوتية.....	الشكل -3
28	يوضح اختبار مقاومة الانحناء.....	الشكل -3
29	أنصاف العينات الناتجة من اختبار الانحناء.....	الشكل -3
29	يوضح اختبار مقاومة الضغط.....	الشكل -3
31	أعمدة بيانية تمثل سرعة انتشار الموجات فوق الصوتية في تركيبة الملاط ذات عمر 4 أيام	الشكل -4
31	أعمدة بيانية تمثل سرعة انتشار الموجات فوق الصوتية في تركيبة الملاط ذات عمر 7 أيام	الشكل -4
32	أعمدة بيانية تمثل سرعة انتشار الموجات فوق الصوتية في تركيبة الملاط ذات عمر 28 يوم....	الشكل -4
32	اختلاف الكثافة بين تركيبيات الملاط ذات عمر 4 أيام	الشكل -4
33	اختلاف الكثافة بين تركيبيات الملاط ذات عمر 7 أيام.....	الشكل -4
33	اختلاف الكثافة بين تركيبيات الملاط ذات عمر 28 يوم.....	الشكل -4
34	أعمدة بيانية تمثل مقاومة الانحناء للملاط لعمر 4 أيام.....	الشكل -4

34	أعمدة بيانية تمثل مقاومة الانحناء للملاط لعمر 7 أيام	الشكل-4-08
35	أعمدة بيانية تمثل مقاومة الانحناء للملاط لعمر 28 يوم.....	الشكل-4-09
35	منحنى بياني يمثل تطور مقاومة الانحناء كدالة لعمر الملاط.....	الشكل-4-10
36	أعمدة بيانية تمثل مقاومة الضغط للملاط لعمر 4 أيام.....	الشكل-4-11
36	أعمدة بيانية تمثل مقاومة الضغط للملاط لعمر 7 أيام.....	الشكل-4-12
37	أعمدة بيانية تمثل مقاومة الضغط للملاط لعمر 28 يوم.....	الشكل-4-13
37	منحنى بياني يمثل تطور مقاومة الضغط كدالة لعمر الملاط	الشكل-4-14
38	مؤشر الشاطط البوزو لاري لأنواع الملاط.....	الشكل-4-15

الملخص:

الأسمت هو المكون الأساسي في الملاط، والذي بدوره يشكل أساس و هيكل المباني التي نعيش و نعمل فيها، والطرق والجسور التي نسير عليها، مع ذلك أصبحت صناعة الاسمنت تشكل قلقاً كبيراً في السنوات الأخيرة، بسبب غاز CO_2 الملوث للبيئة، المبعث خلال صناعته. وجد الباحثون أن استعمال الزجاج في شكل مسحوق، يمكن إدخاله مع الاسمنت للحصول على أسمت أقل تكلفة وأقل تلوث، حيث تتميز هذه المادة بتركيبتها الكيميائية ونشاطها البوزوولي. من خلال هذا العمل سنقوم بتحريض استعمال مسحوق زجاج معالج حرارياً كبدائل حزئي للأسمت بنسبة 15% في تحضير الملاط، و دراسة تأثير ذلك على خصائص الملاط، عبر سلسلة من الاختبارات المدamaة و غير المدamaة. حيث قمنا بتحضير أربعة تركيبات من الملاط: التركيبة الأولى ملاط عادي (شاهد)، أما التركيبة الثانية فتحتوي على مسحوق الزجاج غير المعالج حرارياً، و التركيبة الثالثة تحتوي على مسحوق الزجاج المعالج تحت درجة حرارة 100°C، و التركيبة الأخيرة تحتوي على مسحوق الزجاج المعالج تحت درجة حرارة 200°C، بعد إجراء مختلف التجارب لوحظ أن هناك تغير في سلوك عمل الملاط مقارنة بالشاهد حيث تبين أن مسحوق الزجاج يحتضن الماء، وأما بالنسبة للكافية فقد اظهرت النتائج بأن ملاط الزجاج المعالج كافية صغيرة مقارنة بالشاهد حيث كانت نسبة الفرق تساوي (1.03) بالمائة في عمر 28 يوم في حالة الزجاج المعالج في 200°C درجة مئوية. بالنسبة لسرعة انتشار الموجات فوق الصوتية فللحظة تغير طفيف مقارنة بالشاهد وملاط الزجاج المعالج وغير المعالج، بينما تناقص سرعة العينات الثلاثة، لكن عموماً القيم كلها تدل على ان الملاط بمواصفات جيدة. أما بخصوص مقاومة الضغط فكانت نتائج ملاط الزجاج غير المعالج افضل النتائج حيث كانت نسبة الفرق (-2.44) بالمائة بينها وبين الشاهد. أما في مقاومة الاختفاء فلم تكن النتائج جيدة في العينة الثالثة مقارنة بالشاهد، حيث لوحظ ان المقاومة تقل مع مرور الزمن في عينات ملاط الزجاج، المعالج وغير المعالج.

الكلمات المفتاحية: الملاط، مسحوق الزجاج، المعالجة الحرارية، المقاومة الميكانيكية، النشاط البوزوولي.

Abstract:

Cement is the main component in mortar, which in turn forms the foundations and structures of the buildings in which we live and work, and the roads and bridges we walk on. However, the cement industry has become a major concern in recent years, due to the environmentally polluting CO₂ gas, which is emitted during its manufacture. The researchers found that the use of glass in the form of a powder, can be introduced with cement to obtain less expensive and less polluted cement, as this substance is characterized by its chemical composition and its pozzolanic activity. Through this work, we will experiment with the use of heat-treated glass powder as a partial substitute for 15% cement in the preparation of mortar, and study the effect of this on the properties of mortar, through a series of destructive and non-destructive tests. Where we prepared four compositions of mortar: the first composition is ordinary mortar (control), the second composition contains no treated glass powder, the third composition contains glass powder treated under the temperature of 100 °C, and the last composition contains glass powder treated under the temperature of 200 °C, after conducting various experiments, it was observed that there is a change in the behavior of the mortar work compared to the control, where it was found that the glass powder absorbs water, and as for the density, the results showed that the treated glass mortar had a small density compared to the control where the difference percentage was (1.03 percent) At the age of 28 days in the case of glass treated at 200°C. Regarding the speed of ultrasound, a slight change was observed compared to the control and the treated and untreated glass slurry, decreasing the speed of the three samples, but in general all the values indicate that the slurry has good specifications. As for pressure resistance, the results of untreated glass mortar were the best, as the percentage difference was (-2.44) percent between it and the control. As for the bending resistance, the results were not good in the three sample compared to the control, as it was noticed that the resistance decreases with the passage of time in the treated and untreated glass mortar samples.

Key words: mortar, glass powder, heat treatment, mechanical resistance, pozzolanic activity.

Résumé:

Le ciment est le composant principal du mortier, qui à son tour forme les fondations et les structures des bâtiments dans lesquels nous vivons et travaillons, ainsi que les routes et les ponts sur lesquels nous marchons. Cependant, l'industrie du ciment est devenue une préoccupation majeure ces dernières années, en raison du gaz CO₂ polluant l'environnement, qui est émis lors de sa fabrication. Les chercheurs ont découvert que l'utilisation du verre sous forme de poudre, peut être introduite avec le ciment pour obtenir un ciment moins cher et moins pollué, car cette substance se caractérise par sa composition chimique et son activité pouzzolanique. À travers ce travail, nous allons expérimenter l'utilisation de poudre de verre traité thermiquement comme substitut partiel du ciment à 15% dans la préparation du mortier, et étudier l'effet de ceci sur les propriétés du mortier, à travers une série d'essais destructives et non destructifs. Pour cela, nous avons préparé quatre compositions de mortier : la première est du mortier ordinaire (témoin), la deuxième contient de la poudre de verre non traité, la troisième contient de la poudre de verre traitée sous une température de 100 °C, et la dernière contient de la poudre de verre traitée sous une température de 200 °C. Après avoir mené diverses expériences, il a été observé qu'il y a un changement dans le comportement du mortier par rapport au témoin, où il a été constaté que la poudre de verre nécessite plus d'eau, et quant à la densité, les résultats ont montré que le mortier de verre traité avait une faible densité par rapport au témoin où le pourcentage de différence était (1,03 %) à l'âge de 28 jours dans le cas du verre traité à 200°C. En ce qui concerne la vitesse des ultrasons, un léger changement a été observé par rapport au témoin et aux éprouvettes de verre traité et non traité, diminuant la vitesse des trois compositions ; mais en général, toutes les valeurs indiquent que les éprouvettes ont de bonnes spécifications. En ce qui concerne la résistance à la pression, les résultats du mortier de verre non traité étaient les meilleurs, car la différence de pourcentage était de (-2,44%) entre celle-ci et le témoin. En ce qui concerne la résistance à la flexion, les résultats n'étaient pas bons dans les trois compositions par rapport au témoin, car il a été remarqué que la résistance diminuait avec le temps dans les échantillons de mortier de verre traité et non traité.

Mots clés: mortier, poudre de verre, traitement thermique, résistance mécanique, activité pouzzolanique.

مقدمة عامة

مقدمة عامة

يعتبر الاسمنت أهم مادة في قطاعي الخرسانة والبناء في جميع أنحاء العالم، لذلك يتم إنتاجه بكثيات هائلة عالمياً ويزداد الطلب العالمي عليه بنسبة (3-4)% سنوياً. (D'Anhalt ; 2013)

الاستهلاك والإنتاج الشهري للإسمنت يعني انبعاثات كبيرة من الغازات الملوثة، والتي تقدر بأنها مسؤولة عن (5-7)% من الاحتباس الحراري في الغلاف الجوي ، ولتقليل من هذا التأثير البيئي تم إدخال مواد بديلة لصنع الخرسانة. (Vijayakumar, et al ; 2013 et Jangid, Saoji ; 2014)

ويعد غاز ثاني أكسيد الكربون المبعث من صناعة الإسمنت الغاز الأكثر تأثيراً على البيئة، ويمكن تخفيض انبعاثاته بتحفيض نسبة الكلكر في صناعة الإسمنت، وذلك بالاعتماد على الإسمنت المخلوط وزيادة الاعتماد على النفايات، باعتبارها مصدراً رخيصاً للطاقة، وتحسين كفاءة الاستخدام بخفض الاستهلاك الحراري النوعي. (IEA Green House ; 2004)

من أفضل تطبيقات معالجة النفايات تثمينها في مجال البناء واستخدامها في صناعة الخرسانة كبدل جزئي للإسمنت و الركام الخشن أو الناعم . تعتبر نفايات الزجاج مادة قابلة لاستخدامها كمعوض جزئي للإسمنت لأنها تظهر خصائص بوزولاني عند طحنها وتحويلها إلى مسحوق ناعم. (Raju et Kumar ; 2014)

وعلى هذا المقياس قمنا في عملنا هنا بدراسة تأثير المعالجة الحرارية لمسحوق الزجاج المضاف كبدل جزئي للإسمنت على الخواص الفيزيائية والكيميائية للملاط ، ولإنتمام هذا العمل اتبينا خطوة العمل التالية :

- الفصل الأول يتحدث عن تعريف النفايات الصلبة، أنواعها وخصائصها، وأهمية تدويرها في مجال البناء والهندسة.
- الفصل الثاني يتحدث عن الإسمنت البورتلاندي، صناعته والغازات الملوثة الناتجة عنها، وعلى ماهية التفاعل البوزولاني في الإسمنت.
- الفصل الثالث يشمل المواد المستخدمة والطرق التجريبية المختلفة التي تم إجراؤها لتحديد خصائص المواد المركبة.
- الفصل الرابع نعرض فيه مناقشة النتائج المحصل عليها في هذه الدراسة.

الفصل الأول:

تدوير النفايات الصلبة

I. مقدمة:

ان النفايات الصلبة من المشكلات البيئية البارزة على مستوى العالم ومصدر من مصادر التلوث البيئي، حيث يترتب عليها العديد من الآثار الصحية والاقتصادية المباشرة وغير مباشرة في مختلف دول العالم ان عملية تدوير هذه النفايات في مجال البناء والخرسانة يحقق استثمارا اقتصاديا واجتماعيا يساهم في خلق ثروة في ظل التنمية المستدامة والحفاظ على بيئة المحيط.(Mechri et Messalta ; 2021).

لذلك ستعرف في هذا الفصل على النفايات الصلبة، انواعها وخصائصها، وأهمية تدويرها في مجال البناء والمندسة.

II. لمحـة تاريخـية حول تدوير النـفايات:

المقصود بإعادة التدوير هو إعادة استخدام النفايات، لإنتاج منتجات أخرى أقل جودة من المنتج الأصلي. بدأت فكرة التدوير أثناء الحرب العالمية الأولى والثانية، حيث كانت الدول تعاني من القص الشديد في بعض المواد الأساسية مثل المطاط، مما دفعها إلى تجميع تلك المواد من المخلفات لإعادة استخدامها. وبعد سنوات أصبحت عملية التدوير من أهم أساليب إدارة التخلص من النفايات، وذلك لفوائد البيئة العديدة هذه العملية. سنوات عديدة كان التدوير المباشر عن طريق منتجي مواد النفايات هو الشكل الأساسي لإعادة التصنيع، ولكن مع بداية السبعينيات بدأ التركيز على التدوير غير المباشر، أي تصنيع مواد النفايات لإنتاج منتجات أخرى تعتمد على نفس المادة الخام مثل: تدوير الزجاج، الورق، البلاستيك والألمونيوم وغيرها من المواد التي يتم الآن إعادة تصنيعها. (مسعود؛ 2017)

III. النـفايات الـصلـبة:

III.1 تعريف النـفايات الـصلـبة:

النـفايات الـصلـبة هي جميع المـواد الغـير سـائلـة النـاتـجة مـن مـخـلـفـات أـنـوـاع الأـشـطـة الـبـشـرـية وـالـتي يـمـ الاستـغـانـاء عـنـها لـعدـم الـاستـفـادة مـنـها. كـما يـقـصـد بـالـمـواد الـصـلـبة عـامـة تـلـكـ المـوـادـ الـقاـوـمة لـالتـحلـل أـوـ الـتيـ تـحـلـلـ بـيـطـهـ شـدـيدـ مـثـلـ: الزـجاجـ، الـحـدـيدـ، الـآلـيـومـ، الـبـلاـسـتـيـكـ، وـمـخـلـفـاتـ عـمـلـيـاتـ الـبـنـاءـ وـالـهـدـمـ مـنـ قـطـعـ خـشـبـيـةـ وـأـجزـاءـ مـعـدـنـيـةـ وـكـلـ خـرـسانـيـةـ وـعـمـلـيـاتـ حـفـرـ الـطـرـقـ وـأـنـرـبةـ الـشـارـعـ، وـمـخـلـفـاتـ الـمـتـاجـرـ وـالـمـصـانـعـ (زـينـ الـعـابـدـيـنـ، وـبـنـ عـبـدـ الـمـرـضـيـ؛ 2007). وـعـظـمـ هـذـهـ المـوـادـ قـابـلـةـ لـالـتـدوـيرـ وـيـمـكـنـ إـعادـةـ الـاسـتـفـادـةـ مـنـهاـ وـاسـتـخدـامـهاـ كـمـوـادـ خـامـ لـصـنـاعـاتـ جـديـدةـ. وـتـحـلـفـ نـسـبةـ الـنـفـاـيـاتـ الـصـلـبةـ مـنـ مـنـطـقـةـ إـلـىـ أـخـرىـ كـمـاـ وـنـوعـاـ حـسـبـ خـصـائـصـ الـمـجـتمـعـ وـظـرـوفـهـ وـاـخـتـلـافـ الـأـمـاطـرـ الـاستـهـلاـكـيـةـ وـالـسـلـوكـيـةـ فـيـ وـتـفاـوتـ مـسـتـوـيـاتـ الدـخـلـ. الجـدولـ التـالـيـ يـوـضـعـ الاـخـلـافـ فيـ بـعـضـ الـدـولـ (حـلـفـ، الـدـلـيـميـ؛ 2009)ـ كـالتـالـيـ:

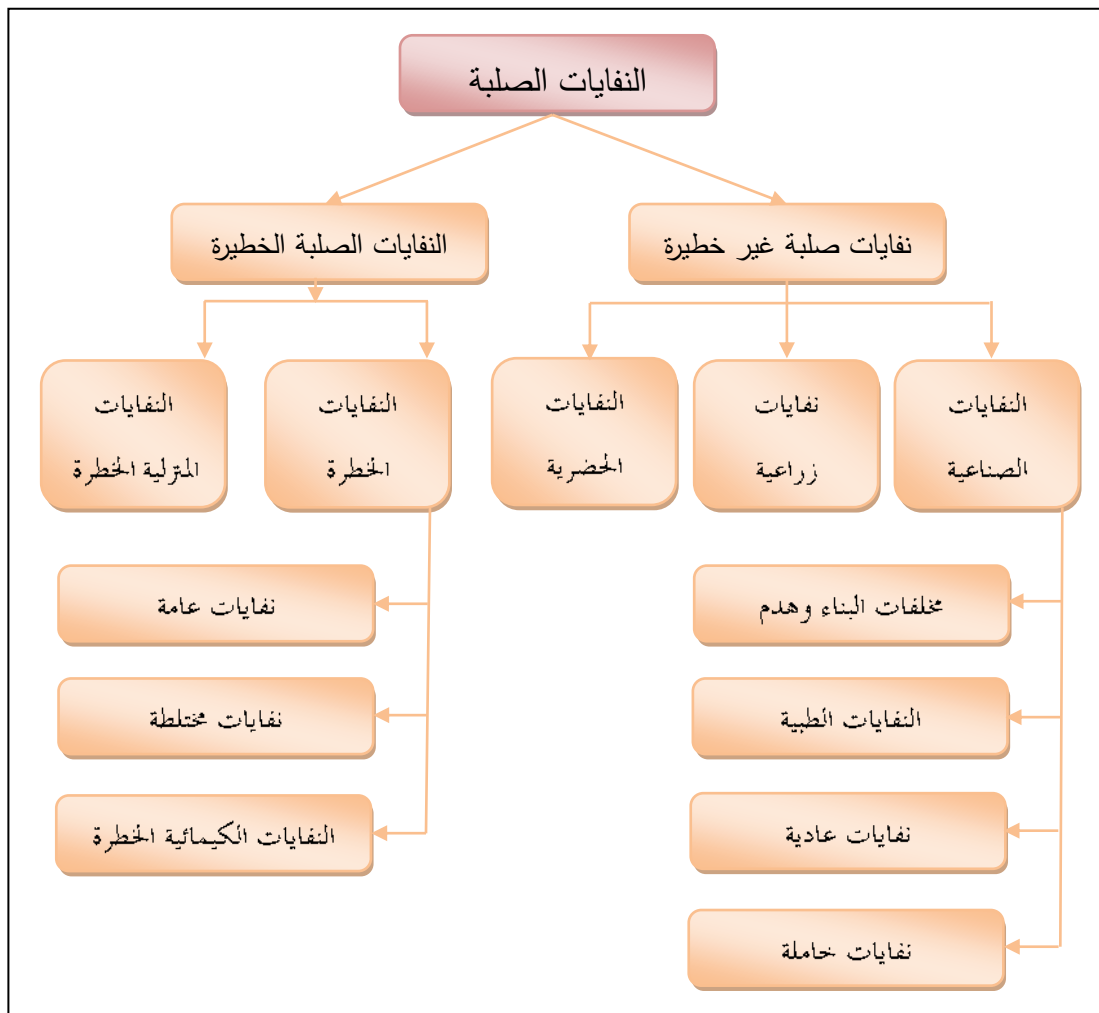
الجدول(1-01): معدل انتاج النفايات الصلبة المنزلية في بعض دول العالم، 2003 (خلف ،الدلسي،2009)

بعض دول العالم			
معدل النفايات كغ/فرد/يوم	الدولة	معدل النفايات كغ/فرد/يوم	الدولة
0.81	مصر	1.2	الإمارات
0.33	سوريا	1.3	البحرين
0.41	تونس	1.4	ال سعودية
0.33	المغرب	0.7	عمان
0.6	الأردن	1.3	قطر
0.6	اليمن	0.87	اليابان
1.2	الجزائر	1.98	الو.م.أ
0.77	فرنسا	1.9	استراليا
0.8	بريطانيا	1.1	المانيا

III.2 أنواع النفايات الصلبة:

تشير الصفة الصلبة الى ما هو ضخم وثابت. لذلك يحافظ الجسم الصلب على ثبات حجمه وشكله بفضل التماسك الرائع للجزيئات. وبهذه الطريقة، يتم تمييزها عن الحالات الأخرى كالحالة السائلة او الحالة الغازية عند تجميع المادة.

(Belferrag, et al ; 2007)



(Belferrag, et al ; 2007) : أنواع النفايات الصلبة

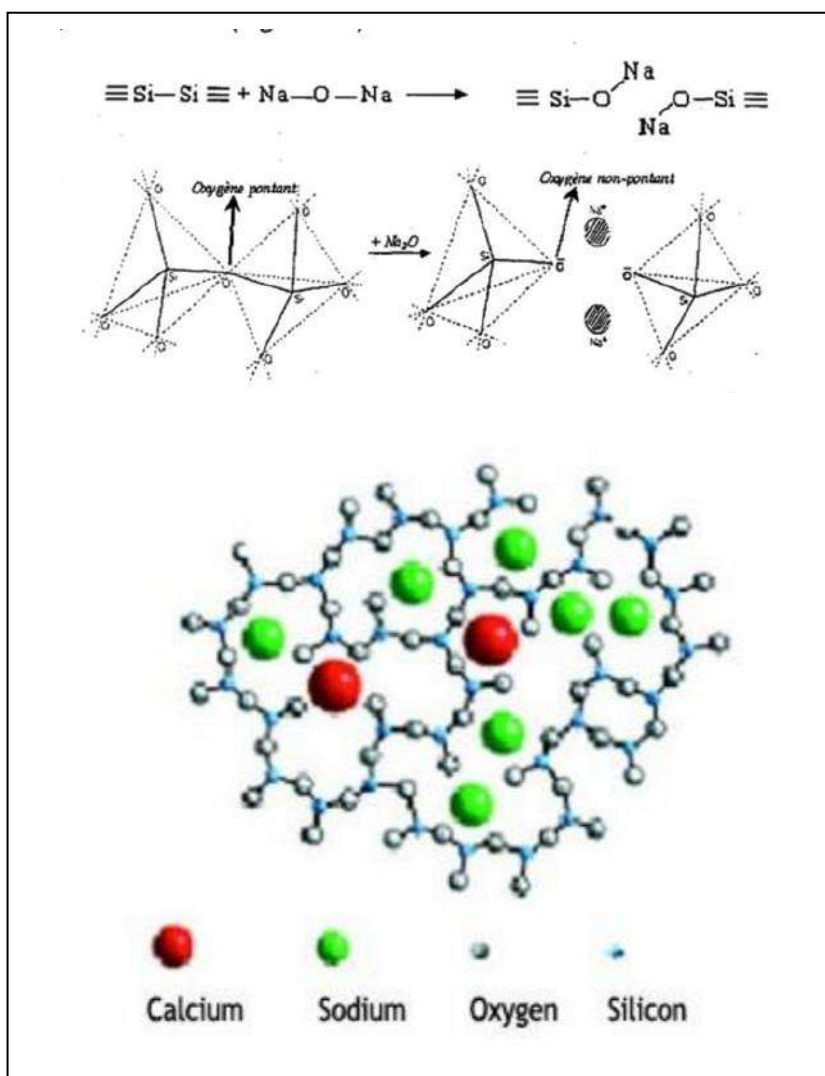
IV. إعادة تدوير النفايات في مجال الهندسة المدنية:

في سياق أعمال الهندسة المدنية تعتبر النفايات أيضاً مصدراً جيداً للمواد الخام. ويمكن أن يساعد استرداد النفايات وإعادة تدويرها في التقليل من استخدام المواد البكر في إنتاج منتجات جديدة. ويمكن أيضاً أن تؤدي إعادة تدوير نفايات البناء والهدم إلى الحفاظ على مساحة مكب النفايات وكميات كبيرة من المواد، هناك ثلاثة فئات رئيسية من النفايات: النفايات الخاملة (مخلفات البناء و الهدم) والنفايات غير الخطيرة (العرجون، بخاره الخشب) والنفايات الخطيرة (الرجاج) .
(Shekhawat et Aggarwal ; 2014)

V. نفايات الزجاج و استعمالاتها:

V.1 تعريف الزجاج:

الزجاج هو مادة صلبة غير عضوية، عادة ما تكون شفافة أو نصف شفافة، لامعة، صلبة، سهلة الانكسار، غير نافذة للمواد الطبيعية. بالرغم من أنه استعمل منذ القدم إلا أنه لا يزال مهم جداً في استعمالات شتى، مثل المباني والأدوات والأواني المنزلية ومعدات الاتصالات السلكية. و بسبب طبيعته الغير المتبلورة ولأنه يحتوي على كميات ملحوظة من السيليكا يعتبر الزجاج بوزوانيّاً. وبذلك يمكن استخدامه كبدائل جزئي للأسمدة البوتاسيوم في الملاط.



الشكل (1-02-): البنية الكيميائية للزجاج (Kassem, et al 2011)

7.2 كمية نفايات الزجاج في العالم وفي الجزائر:

إحصائياً، توجد معلومات غير واضحة حول الكمية الكلية من نفايات الزجاج في العالم، بسبب نقص المعلومات من دول مختلفة، مثل دول الشرق الأوسط. ولكن وفقاً لتقديرات الأمم المتحدة للنفايات الصلبة، في عام 2004، كان هناك 200 مليون طن من النفايات الصلبة و 7٪ منها نفايات زجاجية، أي 14 مليون طن من نفايات الزجاج (Topçu I et Canbaz 2004)

من المتوقع أن يرداد إجمالي إنتاج الزجاج بسبب زيادة التصنيع وتحسين مستوى المعيشة، أي أن معدل الزجاج المهدّر أيضاً سيزداد. وكمثال على ذلك، بلغ إجمالي نفايات الزجاج في الاتحاد الأوروبي 3 ملايين طن في عام 2002، بينما بلغ إجمالي نفايات الزجاج في الاتحاد الأوروبي 4.1 مليون طن في عام 2008، وبلغ إجمالي إنتاج العالم من الزجاج حوالي 89.4 مليون طن في عام 2007، وأنتحت دول الاتحاد الأوروبي حوالي 38.3 مليون طن في نفس العام، والتي تمثل ما يقارب 30٪ من إجمالي إنتاج العالم. وهذا ما جعل الاتحاد الأوروبي أكبر منتج للزجاج في العالم في عام 2007. (Eurostat 2007) (Mechri et Statistical Books; 2010) بينما بلغت كمية نفايات الزجاج وطنياً في الجزائر 50000 طن سنوياً (Messalta; 2021).

7.3 مسحوق الزجاج:

يتم الحصول على مسحوق الزجاج عن طريق طحن الزجاج المسترجع إلى درجة نعومة معينة. عندما يتم دمجه في الخرسانة ليحل محل جزء من الأسمدة، فإن الزجاج يتحوّل إلى غبار يتراوّط مع العناصر بحكم خصائصه البوزولانية (Measson 1981)



الشكل (03-1): مسحوق الزجاج

7.4 خصائص مسحوق الزجاج:

إن خصائص الزجاج الفيزيائية والكيميائية هي التي تعطي له ميزات مختلفة و مهمة. واحد أهم خصائصه الفيزيائية المميزة أنه عند تحويله لمسحوق حجم جزيئاته أقل من $75 \mu\text{m}$ يظهر نشاطاً بوزولانياً جيداً، لأنّه يحتوي على كمية

كبيرة من السيليكا (ASTM C 311; 2017)

-الكتلة الظاهرية لمحوق الزجاج تساوي 988 kg/m^3

-الكتلة المطلقة لمحوق الزجاج تساوي 2469 kg/m^3

-مساحة السطح المحددة (BLAINE SSB) : $3300 \text{ cm}^2/\text{g}$

7.5 تثمين مسحوق نفايات الزجاج في مجال البناء:

نفايات الزجاج ملوثة ومضرة باليئة، لذلك قد يبدو من المفيد إعادة تدوير مسحوق الزجاج كبديل جزئي للركام أو الأسمت. هذا يجعل من الممكن خفض سعر تكلفة الخرسانة، والحد من استخدام الموارد الطبيعية وتقليل انبعاث الغازات الدفيعة الناجمة من صناعة الأسمت. المدارف الرئيسي من هذه العملية هو تطوير خرسانة اقتصادية وبيئية تحتوي على مسحوق زجاجي كمادة بديلة جزئيا للأسمت أو الركام . (Belferrag, et al; 2007, Shekhawat et Aggarwal 2014 ; 2014)

7.6 الدراسات السابقة لاستخدام نفايات الزجاج في مجال البناء:

تم إجراء العديد من الدراسات في الستينيات حول استخدام الزجاج كمواد ركام في الخرسانة. منذ ذلك الحين، تم التخلص عن الفكرة جزئياً. لم يعد الموضوع موضوعاً مرة أخرى إلا منذ حوالي عشرين عاماً. في الواقع، لأسباب اقتصادية وبيئية، أثار استخدام الزجاج المعاد تدويره في الأسمت والخرسانة اهتمام عدد لا يحصى من البلديات، وقد شجع ذلك على إجراء دراسات جديدة. (Isabelle Fily-Paré ; 2014) نذكر بعض الدراسات المنجزة في سنوات الأخيرة:

[Q Li et al ;2022] قاما بدراسة أداء مسحوق نفايات الزجاج كمواد بوزولانية في ملاط الأسمت المخلوط (P Zhan et al ;2022) دراسة القوة والبنية الدقيقة والخصائص الميكانيكية للخرسانة المعاد تدويرها المحتوية على مسحوق نفايات الزجاج ومسحوق الخبث الفولاذي; (Lidiane et al; 2021) قاما بدراسة تأثير الاستبدال الجزئي للأسمت بنفايات الزجاج على المعاجين; (Menchaca-Ballinas et Escalante-Garcia; 2019) قاما بدراسة الأسمت منخفض انبعاثات ثاني أكسيد الكربون من زجاج النفايات الذي يتم تنشيطه بواسطة CaO و NaOH ; (Saggai, et al; 2019) دراسة مسحوق نفايات الزجاج في الملاط: التأثيرات التقنية والبيئية; (Sudharsan et al; 2018) دراسة الاستدامة البيئية لنفايات الزجاج كمادة بناء - قيمة مرجعية -; (GM Sadiqul,et al; 2017) إضافة مسحوق نفايات الزجاج كبديل جزئي للأسمت لممارسة الخرسانة المستدامة; (Jani, et Hogland; 2014) نفايات الزجاج في إنتاج الخرسانة; (Vijayakumar et al; 2013) دراسات على مسحوق الزجاج كبديل جزئي للأسمت في إنتاج الخرسانة; (M Aly, et al; 2012); ثمت دراسة تأثير نانو سيليكا على السلوك الميكانيكي والفيزيائي لنفايات ملاط الأسمت [الزجاجي]

VI. خاتمة:

في هذا الفصل تكلمنا على النفايات الصلبة وتأثيرها على البيئة وإمكانية استعادتها في مجال البناء والهندسة المدنية، حيث ان التراكم الكبير لنفايات يتسبب في مشاكل عديدة بيئية منها وصحية لذلك تطرقنا ايضاً لأهمية تدوير هذه النفايات وتدوير بصفة عامة، حيث ذكرنا أهم انواع النفايات المستعملة في مجال البناء. ثم تطرقنا لمادة الرجاج لأنها مادة مميزة بكونه بوزولانيا. وهذا ما يسمح بتعويضه جزئياً للاسمنت او المركام في الخرسانة.

الفصل الثاني:

صناعة الاسمنت

I. مقدمة:

يعتبر الاسمنت اكبر المواد اهمية و استخداما في الخرسانة، حيث تتطلب صناعته قدرات كبيرة من الطاقة مما يؤدي الى التسبب في التلوث البيئي، الناتج من عمليات الاحتراق الكيميائي والحراري، والتي تعتبر مصدرا رئيسيا لإبعاثات غاز ثاني أكسيد الكربون CO_2 . (Meyer ; 2005)

في هذا الفصل ستعرف على الاسمنت البورتلاندي، صناعته والغازات الملوثة الناتجة عنها، وفي الاخير نتطرق الى مفهوم التفاعل البوزولي في الاسمنت.

II. الاسمنت:**II.1 تعريف الاسمنت:**

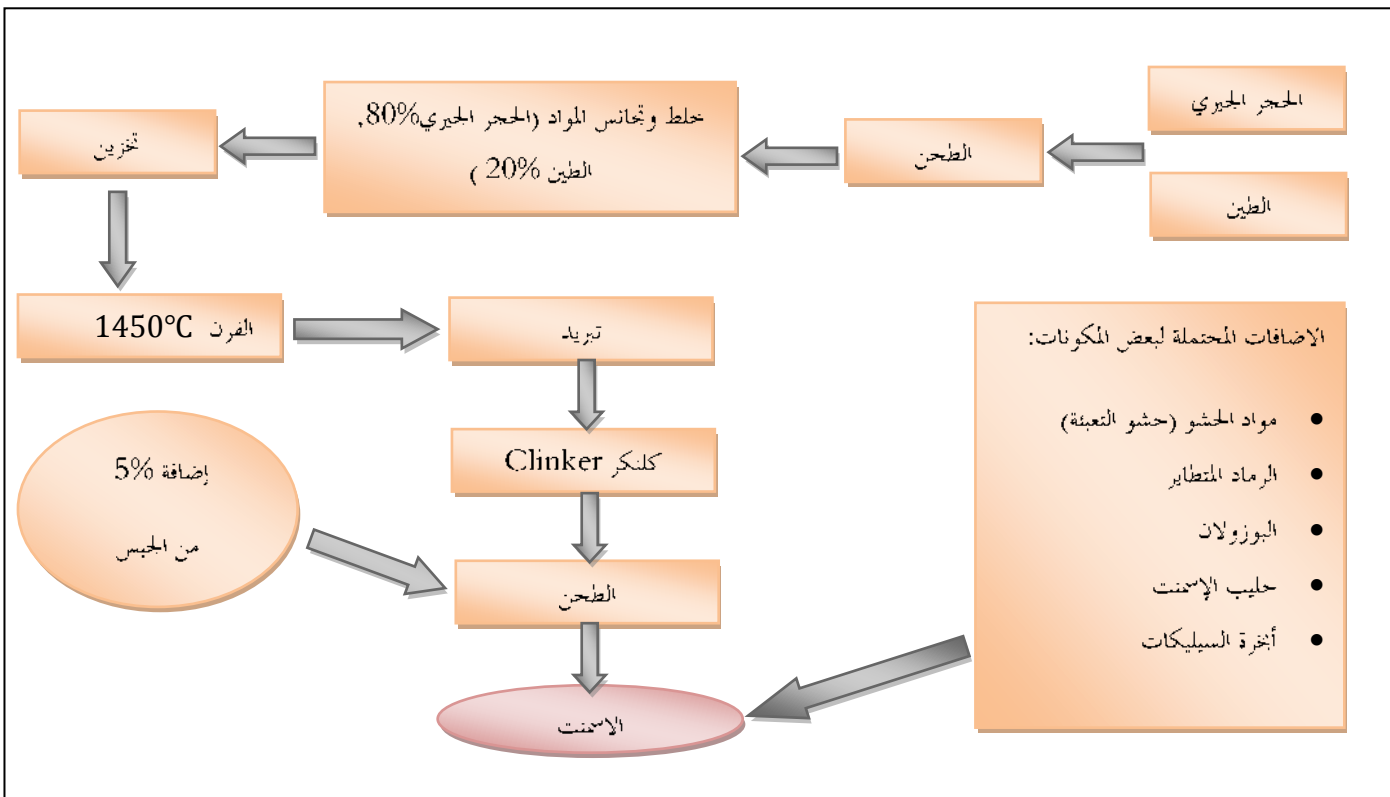
الاسمنت عبارة عن مادة رابطة هيدروليكية على شكل مسحوق كيميائي ناعم يتكون من السيليكات وألومنيات الكلسيوم، و التي تكون رطبة في وجود الماء لتكون مادة قوية تحافظ على قوتها وثباتها حتى تحت الماء. (Kosmatka, et al ; 2004)



الشكل(2-01): الاسمنت البورتلاندي

II.2 صناعة الاسمنت البورتلاندي:

يصنع الاسمنت البورتلاندي من الحجر الجيري والطين الذي يتم استخراجه من المحاجر وسحقه وتغزيفه ثم تحليله كيميائيا لتحديد كمية المادة الخام . يتم طحن جميع المكونات و خلطها جيدا، ثم ادخال المسحوق الناتج في فرن دوار تحت درجة حرارة تصل الى 1450°C لعملية الحرق . وأخيرا الطحن ليتسع الاسمنت.(Yacine et Zahredine ; 2006) كما هو موضح في المخطط التالي (الشكل 2-02):



III. الآثار البيئي والغازات المنبعثة من صناعة الاسمنت:

تعتمد صناعة الإسمنت على حرق أنواع مختلفة من المواد، وتحمّل منها ملوثات بيئية متعددة مثل الغبار وأكسيد الكربون والكربونات ونفايات سائلة وصلبة مختلفة. وإضافة إلى ذلك، ينتج من تفكك كل كيلوغرام من الحجر الجيري (كربونات الكالسيوم) 0.44 كيلوغرام من غاز ثاني أكسيد الكربون.

وبيين الجدول (01-01) انبعاثات ثاني أكسيد الكربون الناجمة عن حرق الوقود الأحفوري حسب نوع الوقود وطريقة التصنيع ونسبة الكلنكر والإسمنت، وعلى أساس أن كمية الوقود المستخدمة لكل طن من الكلنكر هي 3.35 جيغاجول في الطريقة الحادة، 5.4 جيغاجول في الطريقة الرطبة، وأن كمية الكهرباء المستخدمة في أي من الطريقيتين هي 0.38 جيغاجول لطن الكلنكر (الأمم المتحدة نيويورك؛ 2004 و 2005؛ IEA Green House)

جدول(2-01): ابعاث ثاني أكسيد الكربون (بالطن لكل طن اسمنت) (الأمم المتحدة نيويورك؛ 2005 و IEA Green House; 2004)

الطريقة الـرطبة				الطريقة الجافة				النسبة المئوية من الكلكلر/الاسمنت
نفايات	غاز	فيول	فحم	نفايات	غاز	فيول	فحم	
0.36	0.53	0.59	0.67	0.36	0.47	0.5	0.55	55
0.47	0.69	0.77	0.88	0.47	0.61	0.66	0.72	75
0.57	0.90	0.95	1.09	0.57	0.75	0.81	0.89	95 (بورتلاندي)

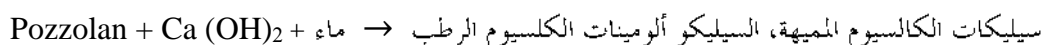
وتبع من صناعة الإسمنت غازات أخرى أيضاً مثل أكسيد الكبريت و أكسيد التتروجين (Sox) و (NOx) ويتوقف مستوى ابعاث غازات أكسيد الكبريت (Sox) على محتوى المادة الخام والوقود من الكبريت، وتنج غازات أكسيد التتروجين (NOx) خلال عملية الاحتراق عبر تفاعل الأزوت الموجود في الهواء مع الأكسجين، وتعتمد كميتهما على درجة حرارة التفاعل وكمية الأكسجين الزائد، بينما ينبع أول أكسيد الفحم عند الاحتراق غير الكامل للوقود.

(الأمم المتحدة نيويورك؛ 2005 و 2004 و IEA Green House; 2004)

IV. التفاعل البوزولاني:

IV.1 تعريف التفاعل البوزولاني في الاسمنت:

في الأصل، اقتصر اسم البوزولان على الرماد البركاني الذي يتكون بشكل طبيعي، وكذلك الطين المكلس الذي يمكن أن يتفاعل مع الجير في وجود الماء وفي درجة حرارة الغرفة. تم توسيع هذا المصطلح لاحقاً ليشمل المواد الاصطناعية أو الطبيعية الأخرى (siliceux) أو (silico-alumineux) والتي في وجود الماء تتفاعل مع هيدروكسيد الكالسيوم لتشكيل مركبات لها خصائص الارتباط. يمكن تلخيص تفاعل البوزولاني على النحو التالي:



لوحظت الخواص البوزولانية بدرجات متفاوتة في المواد الغنية بالسيликاجين غير المتبلورة، حيث يتميز الإجراء البوزولاني بجانبين مختلفين هما: (Barret et al ; 1977)

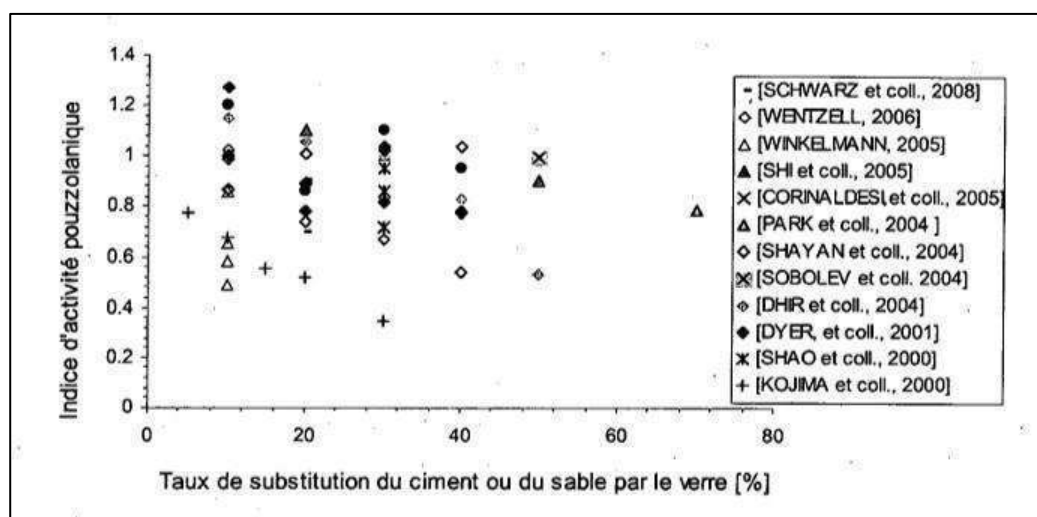
- المقدار الإجمالي هيدروكسيد الكالسيوم الذي يستطيع البوزولان إنتاجه للإصلاح (الديناميكا الحرارية).
- سرعة ثبيت هيدروكسيد الكالسيوم بواسطة البوزولان (حركي).

بصفة عامة متجهات التفاعل البوزولي هي مواد هلامية غير متبلورة من النوع C-S-H، مع نسب Ca / Si بشكل عام أقل بكثير من تلك الموجودة في C-S-H في الأسمنت.

IV.2 تفاعل الزجاج البوزولي:

تم تقييم النشاط البوزولي للزجاج من خلال طرق مختلفة: الاختبارات الميكانيكية على عينات الاختبار من الملاط الأسمنتي والحرسانة أو حتى الاختبارات الكيميائية لاستهلاك الجير، على وجه الخصوص "تجربة شايل" (ATG;DRX) (الشكل 2-03) - نتائج بعض الأعمال المنجزة بين سنتي (2000 و 2008) للثان تناولان النشاط البوزولي للزجاج. مؤشر من النشاط يتم تعريفه على أنه نسبة مقاومة الخليط مع الزجاج لقوة خليط التحكم، كان من الصعب (إن لم يكن من المستحيل) الجمع بين الأعمال الظاهرة في نفس الظروف. ومع ذلك، تظهر الاستنتاجات التالية بوضوح (Idir ; 2009):

1. يلعب حجم الحبيبات الزجاجية دوراً رئيسياً في نشاط الزجاج البوزولي: كلما كانت الحبيبات أهل كان نشاطها البوزولي أفضل
2. تتناقص قوة الملاط والحرسانة حسب محتواها من الزجاج
3. الزجاج ذو اللون الذي هو الزجاج الأقل نشاطاً بوزولي بخلاف الزجاج الأخضر ثم الزجاج الشفاف.
4. للحصول على مقاومة مثالية، من المثير للاهتمام استبدال الرمل بالزجاج بدلاً من الأسمنت.
5. تلعب درجة الحرارة العالية دوراً مهماً في تشويط الزجاج.
6. الزجاج بالمقارنة مع البوزولات الأخرى بما في ذلك الرماد المتطاير، يطور نشاطه البوزولي بسرعة.
7. يمكن أن يؤدي الاستخدام المتزامن للزجاج والبوزولان لاستبدال جزء من الأسمنت إلى أو же تأثير مثير للاهتمام.



الشكل (2-03): مؤشرات النشاط البوزولي للزجاج المستخدم في ظروف مختلفة (Idir ; 2009).

V. الخاتمة:

في هذا الفصل تطرقنا ببداية بمفهوم الاسمنت ومرورا بكيفية صناعته التي تسبب في انبعاث ثاني أكسيد الكربون الضار بالبيئة ، في الاخير تعرفنا على التفاعل البوزولي في الاسمنت كذلك التفاعل البوزولي في الزجاج لأنه القاسم المشترك بين مسحوق الزجاج و الاسمنت.

الفصل الثالث:

الطرق والمنهجية

التجريبية

ا. مقدمة:

يلعب توظيف المواد المستخدمة في تكوين الملاط دوراً مهماً للغاية في خصائصه وأدائه اللاحق، حيث تتأثر الخصائص الأساسية للملاط إلى حد كبير بخصائص مكوناته (خصائص الرمل، خصائص الماء، وخصائص الاسمت).

نتيجة لذلك يتم توحيد طرق اختبار وتحديد مكونات الملاط، وفقاً للمعايير المعول بها. في هذا الفصل نقدم مختلف المواد المستخدمة في تحضير الملاط المراد دراسته وكذلك جميع الاختبارات المطبقة والتي يتم تنفيذها وفقاً للمعايير الفرنسية وإجراءات التشغيل المعول بها.

II. المواد والطرق التجريبية:**II.1. تجارب خصائص الرمل:**

الرمل العربي هو مادة طبيعية يمكن أن يأتي من الأنهر، بسبب تأثير الماء على الصخور، حيث يسمى أيضاً برمال النهر، ويستخدم على نطاق واسع في مجال البناء والخرسانة. لأنه يتكون من حبيبات متوسطة الحجم، تتميز بصلابتها وبشكلها الدائري.

II.1.1. مكافى الرمل (NF P18-598):**أ- الهدف:**

المدف من تجربة مكافى الرمل (Es) هو قياس نظافة الرمل الطبيعي والاصطناعي المستعمل في مجال البناء والهندسة المدنية بغرض مراقبة صلاحيته.

ب- مراحل التجربة:

- ✓ تحضير محلول الغاسل المركب من ماء نقي و مادة غاسلة.
- ✓ غلى الأنابيب بمحلول الغاسل حتى التدرية الأولى.
- ✓ نزن (120g) من رمال البناء العادي المار من غربال 5 ملم، نضيف هذه الكمية من الرمل في أنبوب الاختبار الذي يحتوي على محلول الغاسل.
- ✓ نترك الأنابيب واقفة لمدة 10 دقائق للقضاء على فقاعات الماء، ثم نقرأ تدرجية الارتفاع h_1 .
- ✓ نسد أنابيب الاختبار بسادة مطاطية ونقوم بالرج لمدة 30 ثانية (90 رجة تقريباً) بواسطة آلة الرج.
- ✓ نقوم بغسل الجدران الداخلية للعينة باستخدام أنبوب الغسيل الذي يتم تدويره بين الأصافع حتى التدرية الثانية، نقوم بإزالة أنبوب الغسيل ثم نتركه يرتاح لمدة 20 دقيقة مع تحبس أي اهتزاز حتى نهاية الصب، ونقرأ التدرجية h_2 .

✓ ندخل المكبس في المختبر لغاية التوقف ونقرأ التدريرجة h' .

$$E_s = \frac{h_2}{h_1} \times 100$$

✓ نحسب المكافئ الرملي بالعلاقة التالية .

✓ نعيد التجربة 3 مرات للتأكد من النتائج.

التجربة

رمل البناء المستعمل في الدراسة.



الشكل (01-3): تجربة مكافئ الرمل

$$h_1 = 12.1 \text{ cm}$$

$$h_2 = 9.3 \text{ cm}$$

$$h' = 8.3 \text{ cm}$$

$$h_1 = 12.5 \text{ cm}$$

$$h_2 = 9.5 \text{ cm}$$

$$h' = 8.2 \text{ cm}$$

$$h_1 = 12.1 \text{ cm}$$

$$h_2 = 9.3 \text{ cm}$$

$$h' = 8.2 \text{ cm}$$

$$E_s = \frac{h_2}{h_1} \times 100 = 76. E_s = 76 E_s = 76.86$$

جدول (01-3): يوضح نوعية الرمال

نوع الرمل	مكافئ الرمل % (Es)
رمل طيني	$Es < 60$
رمل حشنس قليلا	$60 < Es < 70$
رمل نظيف	$70 < Es < 80$
رمل نظيف جدا	$Es \geq 80$

ت-أدوات ومواد التجربة:



الشكل(3-02-): أدوات تجربة مكافئ الرمل

II.2.1 الكتلة الحجمية لرمل (الكتلة المطلقة والظاهرية):(NF P 18-555)

أ-1 تعريف الكتلة الحجمية المطلقة:(NF P18-558):

هي الكتلة لكل وحدة حجم دون اعتبار الفراغات التي قد تكون موجودة بين حبيبات المادة المشكلة للركام.

2- مراحل التجربة:



الشكل(3-03-): تجربة الكتلة الحجمية المطلقة

- ✓ وضع حجم V_1 من الماء في أنبوب اختبار
- ✓ تحضير كمية ($M_S = 100\text{g}$) من رمل البناء
- ✓ أضفنا كمية الرمل في الأنابيب الذي به الماء بواسطة قمع
- ✓ قمنا بحساب الحجم V_2 (حجم الماء والرمل معا)
- ✓ تم تعين حجم الرمل بالعلاقة التالية: $V_s = V_2 - V_1$

$$M_V = \frac{M_S}{V_s}$$

التجربة

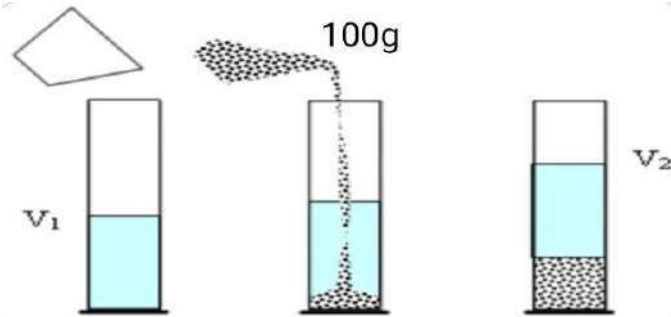
$V_{\text{eau}} = h \times r^2 \times \pi$ حساب حجم الماء الموجود في الأنوب:

$$V_{\text{eau}} = 20 \times 1.6^2 \times 3.14 = 160.77 \text{ cm}^3$$

$$V_{\text{eau+s}} = 24.6 \times 1.6^2 \times 3.14 = 197.74 \text{ cm}^3$$

$$= V_{\text{eau+s}} - V_{\text{eau}} = 197.74 - 160.77 = 36.97 \text{ cm}^3 V_s$$

$$\text{الكتلة الحجمية المطلقة: } M_V = \frac{M_S}{V_S}$$



الشكل (4-3): تجربة الكتلة الحجمية المطلقة

بـ- 1 تعريف الكتلة الحجمية الظاهرية (NFP94-064):

هي الكتلة لكل وحدة حجم مع الفراغات التي تحتويها المادة.

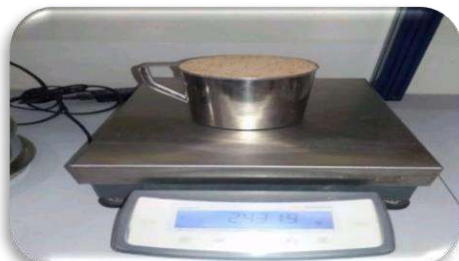
2- مراحل التجربة:

- ✓ جهز كمية الرمل المراد وزنها،خذ كمية بكلتا يديك، املأ الوعاء حتى يفيض، ثم امسح بالمسطرة من المتصف الوعاء إلى نهايته، ثم قم بالوزن لتعيين M_S .

✓ حساب حجم الوعاء لتعيين حجم الرمل V_S بالعلاقة التالية:

$$V_S = h \times r^2 \times \pi$$

$$M_V = \frac{M_S}{V_S}$$



التجربة

V: حجم الوعاء.

VS: حجم الرمل.

M: كتلة الوعاء فارغ

MS: كتلة الرمل.

الشكل (3-05): تجربة الكثافة الظاهرية

$$V_s = h \times r^2 \times \pi$$

$$V_s = 11.3 \times 11^2 \times 3.14 = 1073.33 \text{ cm}^3$$

$$M_s = M_{0+s} - M = 1832.4 - 141.9 = 1690.5 \text{ g}$$

$$\text{Mv} = \frac{M_s}{V_s} \quad \text{الكثافة الظاهرية:}$$

II.3.1 التحليل الحبيبي (الغريلة): (NFP18-560)

1. الهدف: تهدف تجربة التحليل الحبيبي إلى تصفييف حبيبات الرمل تبعاً لأقطارها عن طريق الغربلة، وفقاً لخصائصها (الوزن، الحجم.. الخ)، وتحديد نسب الحبيبات ذات نفس الحجم واستنتاج معامل صفاء الرمل.
2. معامل النعومة:

إنها وحدة تسمح لنا بتمييز نعومة الأنواع المختلفة من الرمل من خلال جموع النسب المئوية للرفض المترافق للغرابيل من السلسلة التالية (5, 2.5, 1.25, 0.63, 0.315, 0.160, 0.080) ملم وتحسب بالعلاقة التالية:

$$M_f = \frac{\Sigma R_C}{100}$$


صورة (3-06): سلسلة الغرابيل المستعملة

جدول (02-3): يوضح الکميات المتبقية والمفروضة في تجربة الغربلة

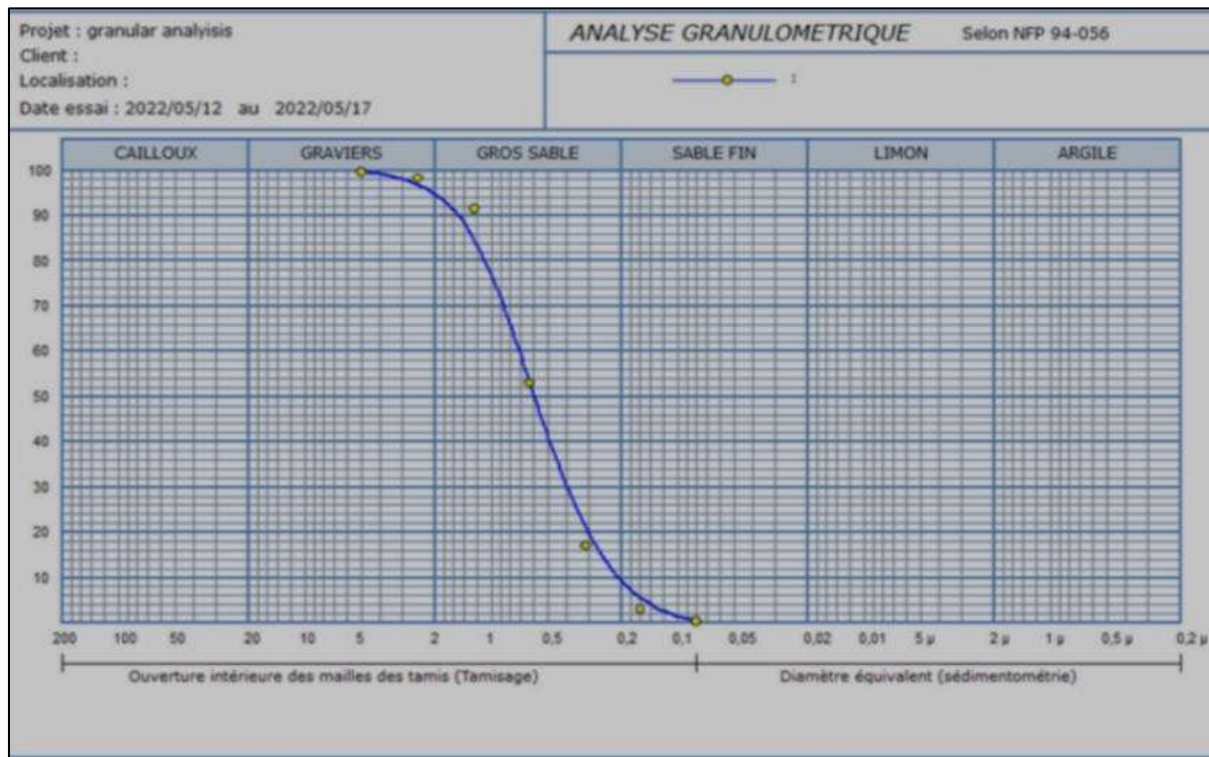
قطر المنخل (ملم)	الرفض الجزئي (غ)	الرفض التراكمي (غ)	النسبة المغوية المفروضة %	نسبة المغوية المقبولة %
5	2.09	2.09	0. 209	99.791
2.5	13.89	15.98	1. 598	98.402
1.25	67.71	83.69	8. 369	91.631
0.63	385.45	469.14	46. 914	53.086
0.315	359.63	828.77	82. 877	17.123
0.160	141.50	970.27	97. 027	2.973
0.080	25.80	996.07	99. 607	0.393
0	3.26	999.33	99. 933	0.067

- كمية عينة الاختبار : 1000g
- حساب معامل النعومة:
- RC: الرفض التراكمي(%) من تحت مناخل الوحدة (5) إلى(0.16).

$$M_f = \frac{\Sigma RC}{100} = 2.37$$

جدول (03-3): يوضح مجالات وحدة النعومة

وحدة النعومة M_f	الرمل في الغالب ناعم الحبيبات	الرمل المسموح بهما
1.8 – 2.2		
2.2 – 2.8	رمال تفاضلية	
2.8 – 3.3	رمال خشن قليلا	



الشكل (3-07): منحنى بيانى لنوزيع الحبيبي

II.2 تجارب خصائص مسحوق الزجاج:

II.2.1 مسحوق الزجاج:

للحصول على مسحوق الزجاج استخدمنا تقنيات زجاج التوافد الشفاف، واتبعنا المراحل التالية لتحويله لمسحوق ناعم:

- ✓ إحضار تقنيات الزجاج.
- ✓ تنظيف الزجاج للحصول على خصائص دقيقة.
- ✓ تكسير الزجاج إلى قطع صغيرة بالماون، ثم وضعه في المطحنة لسحقه.
- ✓ غربلة مسحوق الزجاج الناتج، تأخذ ما يمر من غربال 0.63 mm والباقي نعيده للمطحنة لإعادة سحقه.

في دراستنا نحتاج إلى مسحوق زجاج ناعم معالج بدرجات حرارة مختلفة (0, 100, 200°C) لذلك نكمل مراحل معالجته

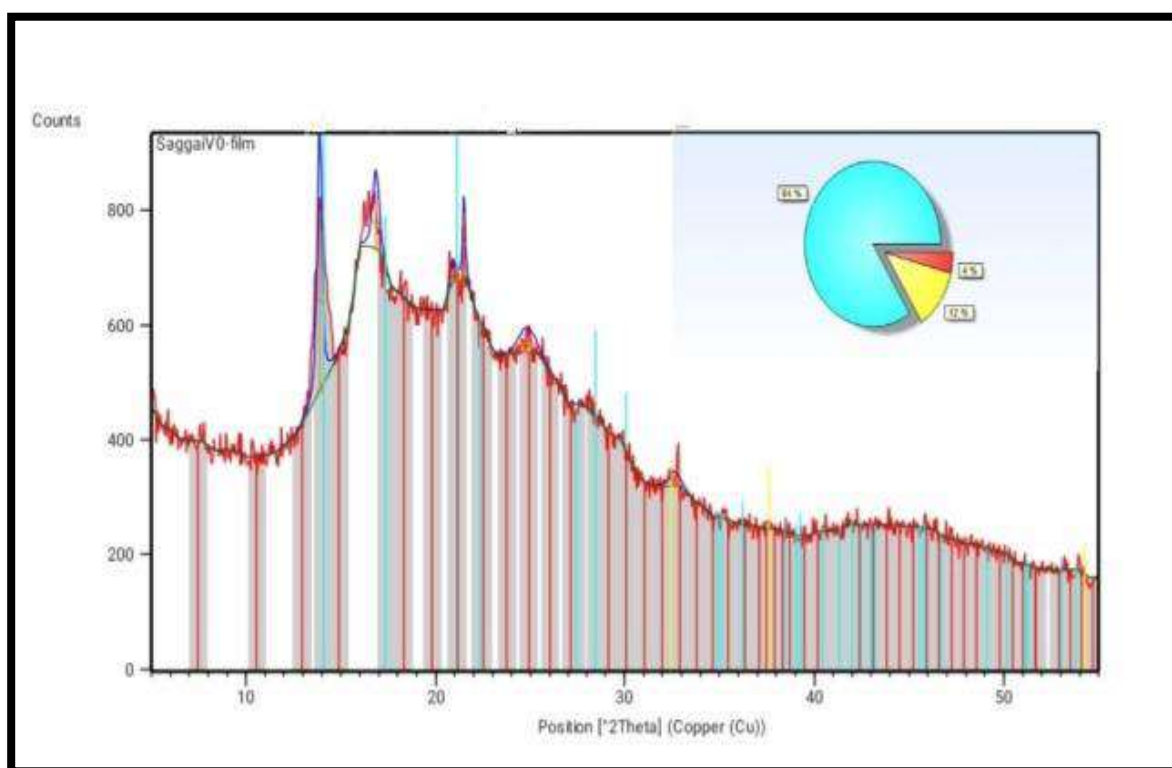
كما يلي:

- ✓ بعد تحضير مسحوق الزجاج، نقوم بتقسيمه إلى 3 كميات متساوية.
- ✓ ترك الكمية 1 بدون معالجة حرارية 0°C، وضع الكمية 2 و 3 في الفرن على درجة حرارة (100°C، 200°C).
- ✓ وأخيراً نأخذ عينة من كل مسحوق من الكميات الثلاثة ونضعهم في أنابيب صغيرة ونأخذها لتحليل الخصائص الكيميائية.

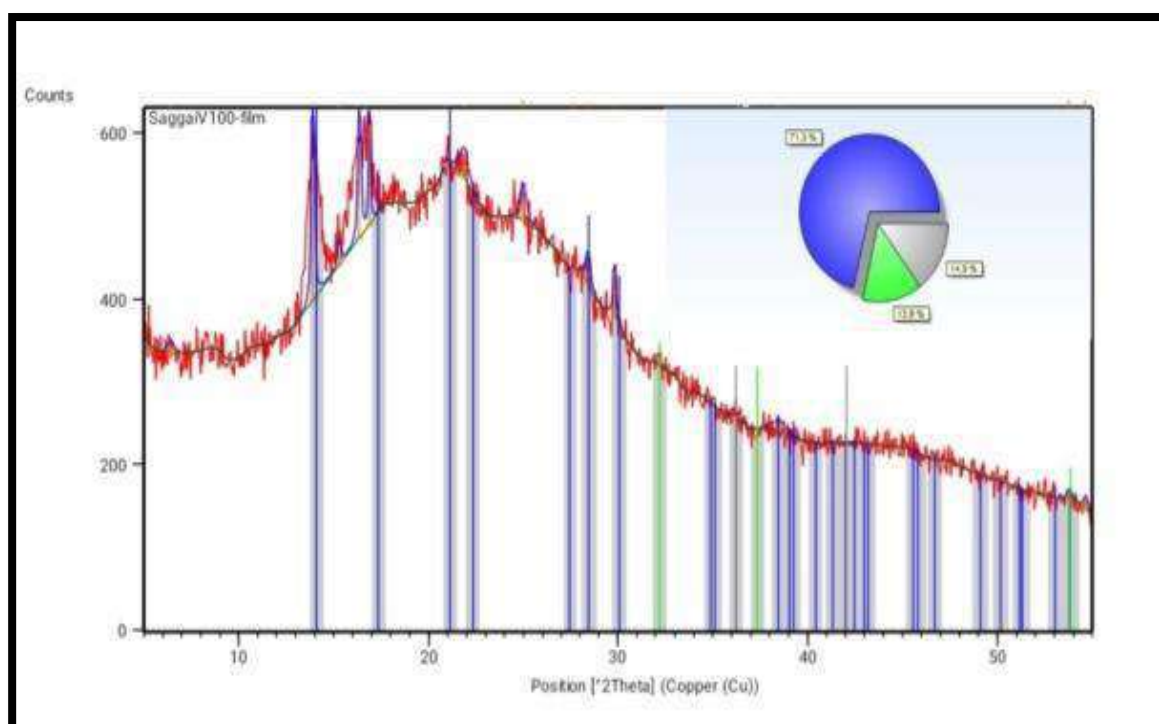


الشكل (3-08): مخطط يوضح مراحل سحق الزجاج ومعالجته.

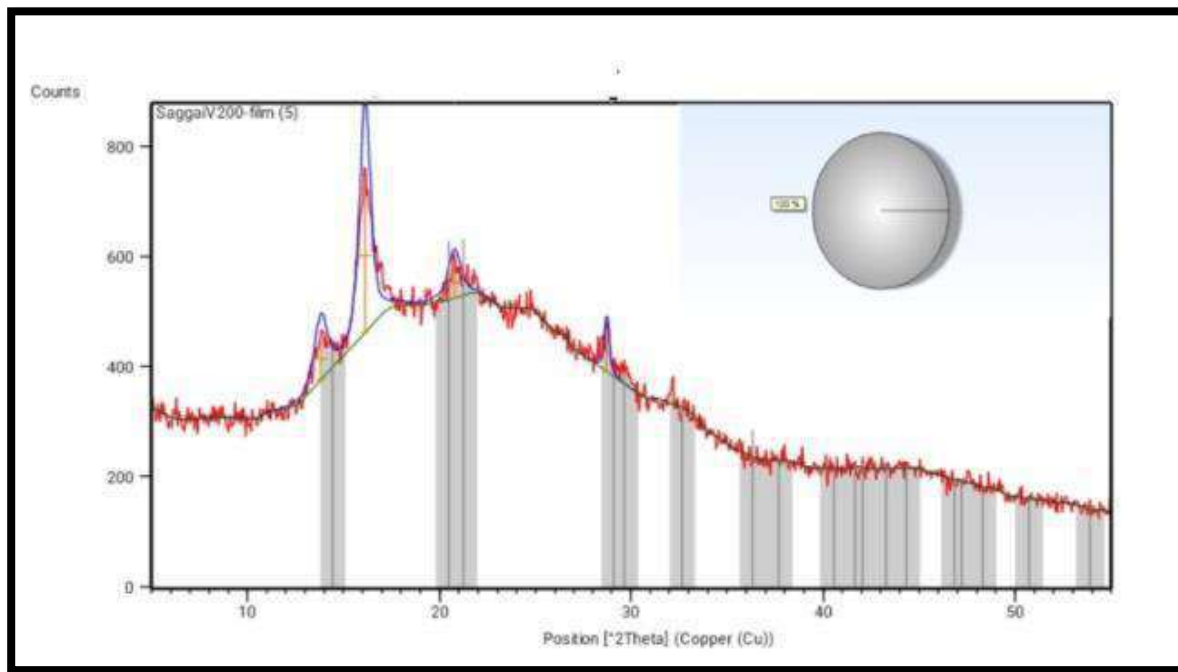
III.2.2 الخصائص الكيميائية لمسحوق الزجاج:



الشكل (3-09): الخصائص الكيميائية لمسحوق الزجاج.



الشكل(3-10): الخصائص الكيميائية لمسحوق الزجاج.



الشكل (3-11): الخصائص الكيميائية لمسحوق الزجاج V_{200} .

التركيبة	المركب	النسبة المئوية
V_0	SiO_2	84%
	Cao	12%
	Fe_3O_4	4%
V_{100}	SiO_2	71.3%
	Cao	14.9%
	Fe_3O_4	13.9%
V_{200}	SiO_2	100%
	Cao	/
	Fe_3O_4	/

❖ تحليل الأشكال:

نلاحظ في الشكل (3-09-) أن نسبة العناصر الكيميائية في عينات V_0 كانت: 412% Cao ; 84% SiO_2 %; Fe_3O_4 ; 13.9% Cao ; 14.9% FeO; و 100% SiO_2 . أما عن الشكل (3-10-) نلاحظ تغير في شكل المنحني و زيادة نسبة العناصر الكيميائية 71.3% SiO_2 في عينات V_{100} . أما عن الشكل (3-11-) عينات V_{200} نلاحظ أن شكل المنحني مماثل لمنحني الشكل (3-10-) إلا أن منحني الشكل (3-11-) سهل قيم أكبر في بعض الأماكن و ظهور SiO_2 فقط في عينات V_{200} .

II. تحضير الملاط:

يتم تحديد تركيبة الملاط وفقاً للمعيار EN 196-1، حيث استخدمنا خلطة الملاط التي تعتبر قياسية، والتي تكون من كمية

$$C = 0.5, E = 0.5, S = 1350 \pm 5g$$

II.1.3 قابلية عمل الملاط (Maniabilimétre de mortier):

1- الهدف من التجربة:

هو تحديد كمية الماء التي تتوافق مع "الملاط البلاستيكي".

2- مراحل التجربة:

- ✓ تحضر كمية المواد المعول بها.
- ✓ يخلط المواد الجافة أولاً ثم إضافة الماء وكمال الخلط لمدة 4 دقائق حتى يتجانس الملاط جيداً.
- ✓ وضع الملاط في جهاز "قابلية عمل الملاط"، يتم إيقاف ساعة التوقف عندما يصل الملاط للنقطة المرجعية على جدار الجهاز.

جدول (3-04): نوع الملاط حسب زمن التشغيل



الشكل (3-12): مقياس قابلية عمل الملاط

نوع الملاط	زمن التشغيل (t)
مغلق	$t \geq 40$
بلاستيك	$20 < t \leq 30$
بلاستيك جداً	$10 < t \leq 20$
سائل	$t \leq 10$

- خلطة القوالب المستعملة (الملاط الشاهد): تكون خلطة قالب واحد (3 عينات) من:

$$\left\{ \begin{array}{l} C = 450 \pm 2g \\ E = 225 \pm 1g \\ S = 1350 \pm 5g \end{array} \right. \text{ (الملاط الشاهد)}$$



الشكل (3-13): مواد الملاط الشاهد

- الملاط المضاف إليه مسحوق الزجاج كبديل جزئي للإسمنت بنسبة 15% :

$$\begin{cases} C = 382.5 \pm 2g \\ V = 67.5 \pm 1g \\ E = 234 \pm 1g \\ S = 1350 \pm 5g \end{cases} \quad (\text{الملاط بالزجاج})$$



الشكل (3-14): مواد الملاط بمسحوق الزجاج

II.4 الاسمنت البورتلاندي :

الإسمنت المستخدم هو إسمنت بورتلاند CPJ CEMII A 32.5Mpa، من شركة الإسمنت في عين التوتة (باتنة).

جدول (3-05): التركيب الكيميائي للكلنكير (%) (Clinker)

SiO_2	Al_2O_3	Fe_2O_3	CaO	MgO	RI	SO_3	PAF
22	5.02	2.94	64.36	2.07	0.73	1.94	0.64

جدول (3-06): التركيب المعدني للكلنكير (%) (Clinker)

C_3S	C_2S	C_3A	C_3AF
51.28	24.68	8.33	8.94

$$\diamond \text{ الكثافة الظاهرية} = 1085 kg/m^3$$

$$\diamond \text{ الكثافة المطلقة} = 3050 kg/m^3$$

II.5 خصائص المياه المستعملة:

المياه المستخدمة في الملاط من صنبور مختبر الحرسانة التابع لقسم الهندسة المدنية والري في جامعة قاصدي مرباح ورقلة، وهي مياه نظيفة وصالحة لشرب.

جدول (3-07): الخصائص الفيزيائية للمياه المستعملة

الخاصية	PH الماء	النقاوئي $\mu\text{s}/\text{cm}$	Tds	الملوحة PSU	درجة الحرارة $^{\circ}\text{C}$
	8.87	2234	1117	1.13	29.23

١١.٦ القولبة (تحضير العينات):

في عملنا، قمنا بإعداد 108 عينة بحجم $(4 \times 4 \times 16)$ سم، للتوصيف الفيزيائي والميكانيكي لجميع أنواع الملاط المصنوع.

❖ مراحل إعداد العينات:

1. تجهيز القوالب.
2. تحضير الخليط حسب النوع والكمية المحسوبة.
3. صب الملاط في القالب، ثم وضعه بإحكام في طاولة الصدمات لمدة 120 ثانية (ما يعادل 120 صدمة).
4. تم إزالة القالب من طاولة الصدمات، ثم إزالة الملاط الزائد وتعيم سطح العينة لتكون جاهزة كما هو واضح في الصورة التالية:



الشكل (3-15): مراحل إعداد العينات

١٢) سرعة انتشار الموجات فوق الصوتية(NFP18-418):

١) الهدف: اختبار الموجات فوق الصوتية هو طريقة اختبار غير مدمرة تكتشف الأخطاء داخل المواد، و المدف الأصلي منه هو اختبار تجسس المترسانة حيث يعتمد هذا الاختبار على انتقال وانعكاس الموجات فوق الصوتية داخل المادة، وتكون هذه الموجات المستخدمة موجهة أو حرة (ضغط أو قص).

٢) مبدأ التجربة:

يعتمد مبدأ الاختبار على ابعاث موجات فوق صوتية بواسطة محول طاقة موضوع على سطح المادة لتحكم في المادة وانتشارها. في تجربتنا، استخدمنا طريقة الاتصال حيث يكون من الضرورة إضافة اقتران "ماء أو هلام" بين المسار و العينة لضمان انتقال الموجات.



الشكل (16-3): تجربة سرعة انتشار الموجات فوق الصوتية

الجدول (3-08): تصنيف الملاط حسب سرعة انتشار الموجات فوق الصوتية (BONATTI-HMD ;2015)

سرعة الانتشار (m/s)	المخوذة
أكبر من 4500	ممتازة
4500-3500	جيدة
3500-3000	مقبولة
3000-2000	سيئة
أقل من 2000	سيئة جدا

III. المقاومة الميكانيكية للملاط:**III.1 مقاومة الانحناء:(NF P18-433)**

لتحديد مقاومة الانحناء يتم استخدام طريقة الحمل المركزي في منتصف المسافة عن طريق جهاز الانحناء القياسي، حيث يتم وضع العينة في جهاز الانحناء مع وجه جانبي للفولية على بكرات الدعم ومحوره الطولي، عمودي عليها كما هو موضح في (الشكل-3-17). تطبيق القوة عمودياً بواسطة بكرة التحميل على الجانب المقابل للعينة وزيارتها بمقدار $\pm 50N/s$ حتى ينكسر.

قمنا بالاحفاظ على انصاف العينات الناجحة من اختبار الانحناء حتى لحظة اختبار الضغط.

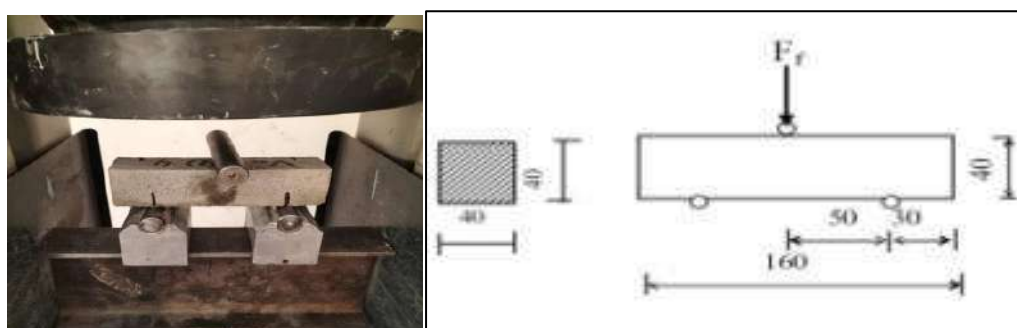
يتم حساب مقاومة الانحناء $R_f = \frac{1.5 \times F_f \times L}{b^3}$ بالعلاقة التالية:

R_f : هي قوة الانحناء بوحدة N/mm^2 أو Mpa .

b : هو جانب المقطع المربع للعينة بوحدة mm .

L : المسافة بين الدعامات بوحدة N .

F_f : القوة المطبقة على منتصف العينة عند الكسر بوحدة $.mm$.



الشكل(3-17): يوضح اختبار مقاومة الانحناء.

III. مقاومة الضغط:(NF P18-455)

لتحديد مقاومة الضغط يتم اختبار نصف العينة المتحصل عليها من اختبار الانحناء بالضغط على وجه التشكيلة الجاذبية تحت قسم $(4 \times 4) cm$ ، حيث يتم توسيط نصف العينة بشكل جانبي بين صفيفتين معدنيتين متقابلتين على التوازي، على بعد 10mm من طرف نصف العينة، ثم إدخالها في مركز آلة الضغط كما هو موضح في (الشكل 3-19). تطبق قوة الحمل على العينة وتترداد بمقدار $1200N/s$ إلى $2400N/s$ حتى تنهار العينة.

يتم حساب مقاومة الضغط (R_c) بالعلاقة التالية:

$$R_c = \frac{F_c}{1600} N/m^2$$

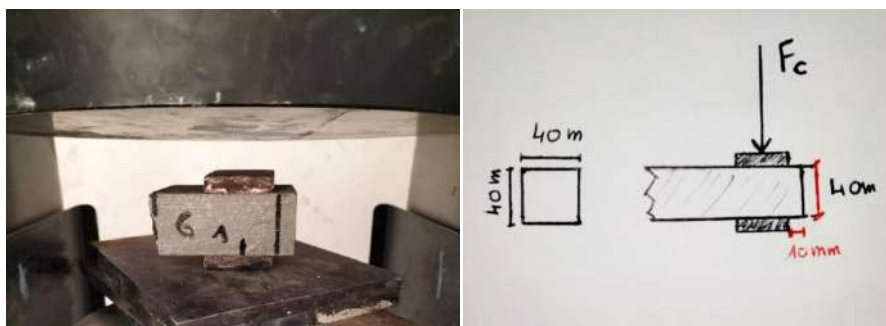
R_c : هي مقاومة الضغط N/m^2

F_c : القوة المطبقة عند الاختبار.

A : المساحة بوحدة mm^2 .



صورة(18-3-): أنصاف العينات الناتجة من اختبار الانحناء



الشكل(19-3-): يوضح اختبار مقاومة الضغط.

IV. مؤشر النشاط البوزوولي (IAP)

مؤشر النشاط البوزوولي (IAP) هو النسبة بين قيمة الإجهاد لمقاومة الانضغاط لملاط يحتوي على نسب من البوزوولان الطبيعي لمدة 28 يوماً، وملاط الشاهد من الجودة العادلة من نفس العمر. [ASTM C1240]

$$IAP = RC_{AV}/RC_T$$

IAP: هو مؤشر النشاط البوزوولي.

RC_{AV} : هي مقاومة الضغط للملاط مع مسحوق الزجاج بوحدة Mpa.

RC_T : هي مقاومة الضغط لملاط الشاهد بوحدة Mpa.

٧. خاتمة:

في هذا الفصل قمنا بعرض خصائص مختلف المواد المستعملة (رمل البناء، الاسمنت، مسحوق الزجاج، ماء) لهذه الدراسة، حيث تبين لنا بأن الخصائص المواد المستعملة كانت معايير مقبولة ووحيدة و تم التعامل مع تفاصيل الصيغ المختلفة لسمكين دراستنا التجريبية: دراسة الخواص الفيزيائية و الميكانيكية.

الفصل الرابع:

النتائج والمناقشة

النتائج ومناقشتها:

I. خصائص الرمل:

$$\left\{ \begin{array}{l} MV = \frac{M_S}{V_S} = \frac{100}{36.97} = \frac{2.70g}{cm^3} \\ MV = \frac{M_S}{V_S} = \frac{1690.5}{1073.33} = 1.575 \frac{g}{cm^3} \\ M_f = \frac{\Sigma RC}{100} = \frac{236.994}{100} = 2.37 \\ ES = 76.57\% \end{array} \right.$$

الكتلة الحجمية المطلقة
الكتلة الحجمية الظاهرية
معامل النعومة
مكافئ الرمل : نسبة تقاؤه الرمل المستعمل

من خلال النتائج المحصل عليها واعتباراً على الجداول [(-01-3)، (-03-3)، (-04-3)] نستنتج بأن رمل البناء المستعمل رمل تقاضلي نقى ونظيف وحجم حبياته ناعم إلى متوسط مع دقة جيدة.

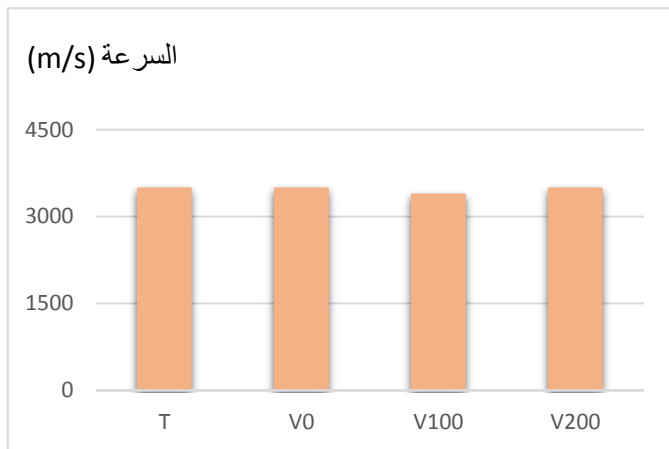
II. خلطات الملاط المختلفة:

جدول (4-01): الكثيارات المستعملة لخلطة الملاط.

	ملاط الشاهد	ملاط بمسحوق الزجاج
الرمل (غ)	1350 ± 5	1350 ± 5
الماء (غ)	225 ± 1	234 ± 1
الاسمنت (غ)	450 ± 2	382.5 ± 2
مسحوق الزجاج (غ)	/	67.5 ± 1

III. سرعة انتشار الموجات فوق الصوتية:

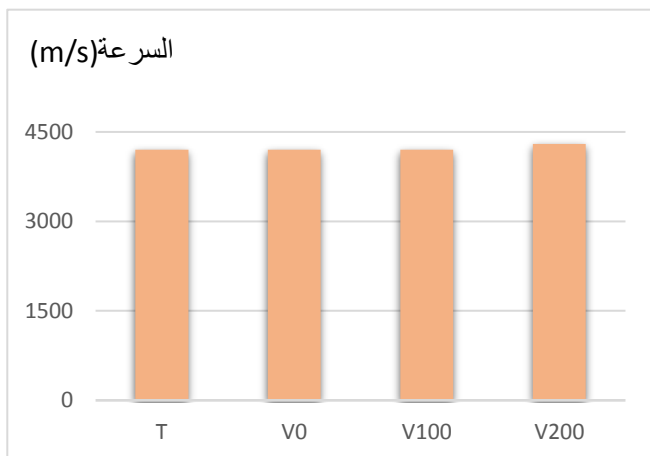
- يوضح الشكل (4-01) التباين في سرعة انتشار الموجات الصوتية في تركيبة الملاط ذات عمر 4 أيام:



نلاحظ في الشكل أن التركيبات (T , V_0 , V_{200}) أعطت نتائج متساوية (3500 م/ثا) مقارنة بالتركيبة V_{100} التي أظهرت نتيجة أقل من العينات السابقة وكانت نسبة الفرق مقارنة مع الملاط الشاهد 2.85% مما يعني هناك تناقض عن نتيجة التركيبة الشاهدة.

الشكل (4-01): سرعة انتشار الموجات الصوتية في تركيبة الملاط ذات عمر 4 أيام.

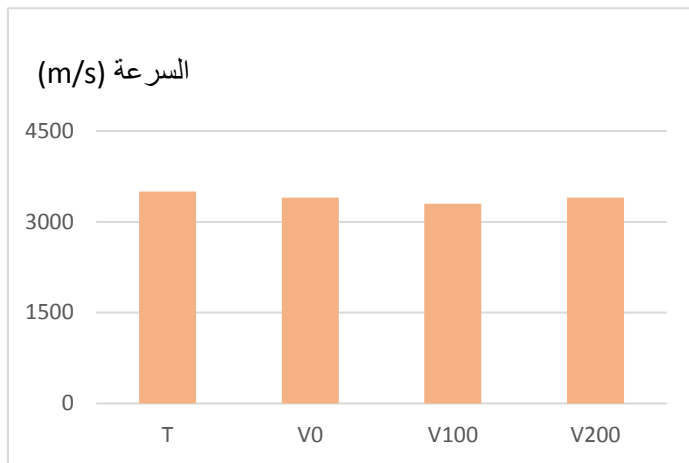
- يوضح الشكل (4-02) التباين في سرعة انتشار الموجات الصوتية في تركيبة الملاط ذات عمر 7 أيام:



نلاحظ في الشكل ان التركيبات (T , V_0 , V_{100}) أظهرت نفس النتيجة (4200 م/ثا) مقارنة مع التركيبة V_{200} بحيث أعطت نتيجة أكبر من التركيبات السابقة، وكانت نسبة الفرق مقارنة مع التركيبة الشاهدة (-2.38%) وهذا يعني أن هناك تزايد عن قيمة الملاط الشاهد.

الشكل (4-02): سرعة انتشار الموجات الصوتية في تركيبة الملاط ذات عمر 7 أيام.

- يوضح الشكل (4-03) التباين في سرعة انتشار الموجات الصوتية في تركيبة الملاط ذات عمر 28 يوم:



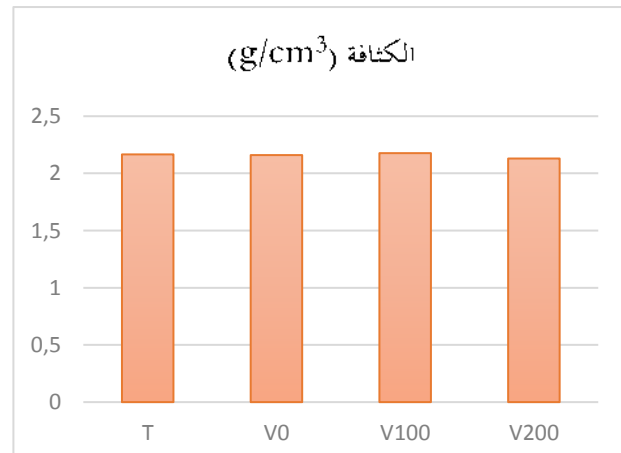
نرى في الشكل أن التركيبة V_{100} أخذت قيمة أقل من باقي العينات، أيضاً نلاحظ أن التركيبة الشاهدة أظهرت نتيجة أفضل من العينات الأخرى وكانت الفروق في النسب المئوية (2.85%)، (5.71%) على التوالي.

الشكل (4-03): سرعة انتشار الموجات الصوتية في تركيبة الملاط ذات عمر 28 يوم.

IV. الكثافة:

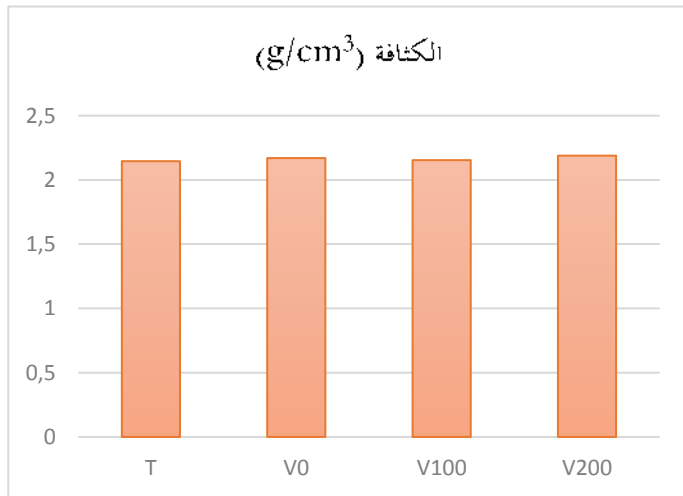
- تمثل المنحنيات في الشكل (4-04) الاختلاف في الكثافة كدالة لعمر الملاط لعينات 4 أيام:

حسب الشكل (4-04) باستثناء الملاط الذي يحتوي على مسحوق الزجاج المعالج تحت درجة حرارة 100° (V_{100}) تكون الكثافة منخفضة مقارنة بالملاط الشاهد. حيث كانت نسبة الفرق على التوالي كالتالي: (1.66%) ، (2.28%) ، (-0.51%) .



الشكل (4-04): الاختلاف في الكثافة بين التركيبات الملاط ذات عمر 4 أيام.

- تتمثل النتائج في الشكل (4-05) الاختلاف في الكثافة كدالة لعمر الملاط لعينات 7 أيام:



حسب الشكل (4-05) تكون الكثافة عالية في جميع العينات التي تحتوي على مسحوق الرجاج مقارنة بالعينة الشاهدة، ونلاحظ أيضاً أن العينة (V_{200}) أظهرت أفضل نتيجة بالمقارنة مع التركيبات التي تحتوي على مسحوق الرجاج.

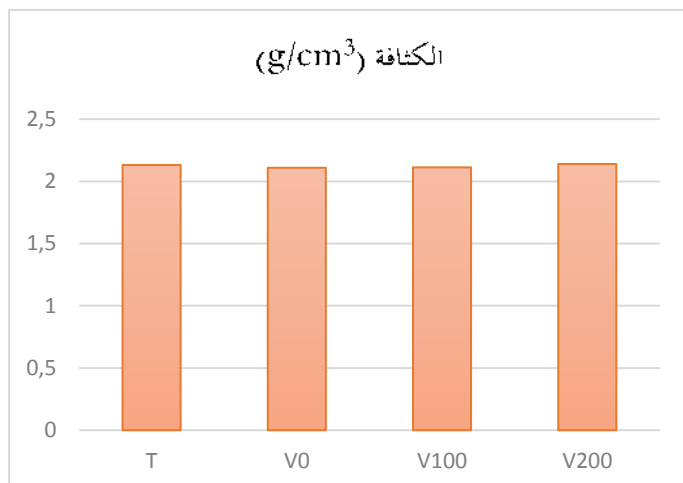
حيث كانت نسبة الفرق بينهم كالتالي:

(-2.00%) ، (-0.37%) ، (-1.12%)

على التوالي مقارنة بالملاط الشاهد

الشكل (4-05): الاختلاف في الكثافة بين التركيبات الملاط ذات عمر 7 أيام.

- تتمثل النتائج في الشكل (4-06) الاختلاف في الكثافة كدالة لعمر الملاط لعينات 28 يوم:



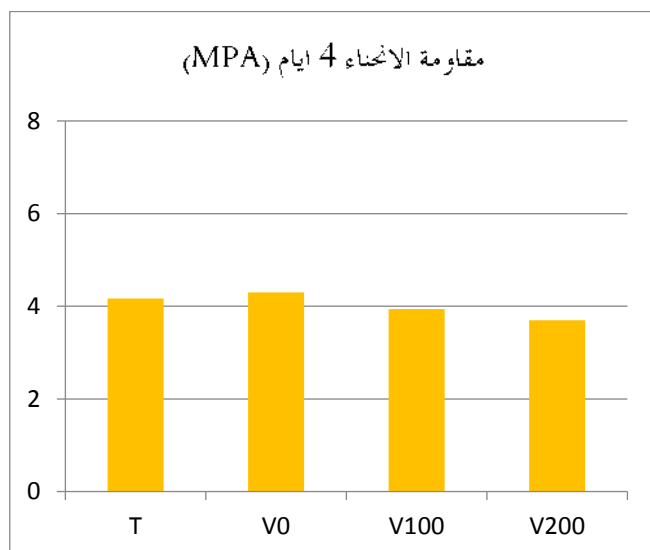
حسب الشكل (4-06) باستثناء الملاط المحتوي على مسحوق الرجاج المعالج تحت درجة حرارة 200° تكون الكثافة منخفضة في العينات الباقيه مقارنة مع العينة الشاهدة، وتكون نسبة الفرق بينهم كما يلي:

(1.03%) ، (0.89%) ، (-0.38%) على التوالي مقارنة بالعينة الشاهدة.

الشكل (4-06): الاختلاف في الكثافة بين التركيبة الملاط ذات عمر 28 يوم.

V. مقاومة الانحناء:

يمثل الشكل (4-07-): مخطط نتائج مقاومة الانحناء لتركيبات مختلفة للملاط لعمر 4 أيام

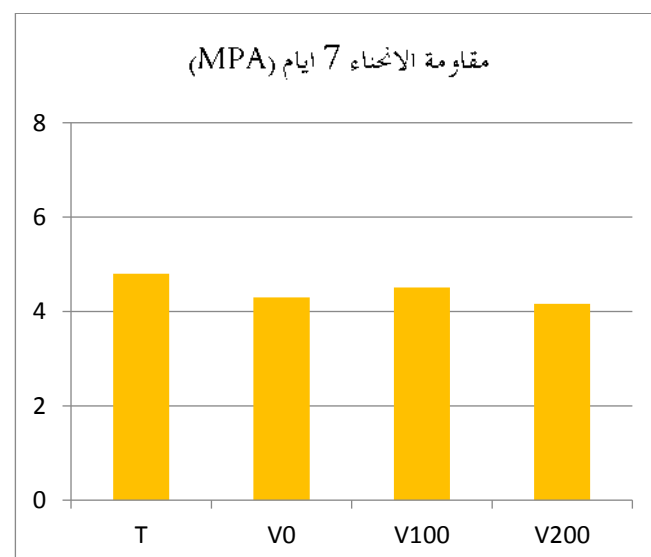


-حيث نلاحظ أن النتائج متقاربة، حيث نرى أن العينة (V_0) أظهرت أعلى قيمة مقارنة بالتركيبات الأخرى، على عكس التركيبتين (V_{100}) و(V_{200}) اللتان أظهرتا نتيجة أصغر مقارنة بالملاط الشاهد، وكانت نسبة الفرق بينهم على التوالي كالتالي: (11.27%) ، (5.52%) ، (-3.12%)

الشكل(4-07-): مخطط مقاومة الانحناء للملاط لعمر 4 أيام

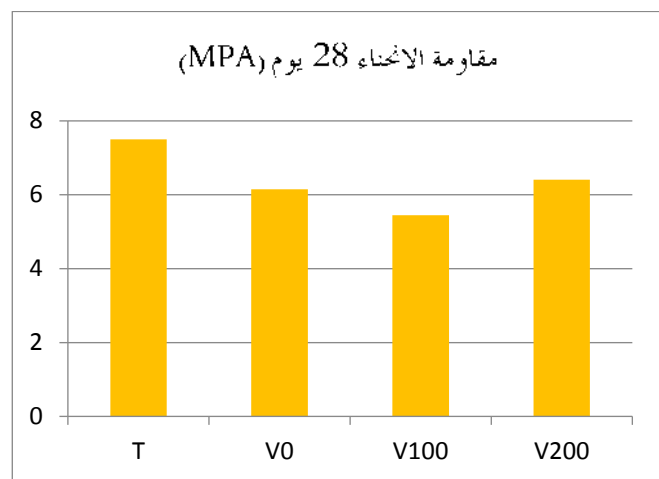
يمثل الشكل (4-08-): مخطط نتائج مقاومة الانحناء لتركيبات المختلفة للملاط لعمر 7 أيام

حيث نلاحظ أن العينة الشاهدة أظهرت نتائج أحسن من باقي التركيبات كذلك نرى أن العينة (V_{200}) سجلت أقل نتيجة مقارنة بالملاط الشاهد و كانت نسبة الفرق كماليي : (13.33%) ، (6.04%) ، (10.42%) على التوالي.



الشكل(4-08-): مخطط مقاومة الانحناء للملاط لعمر 7 أيام.

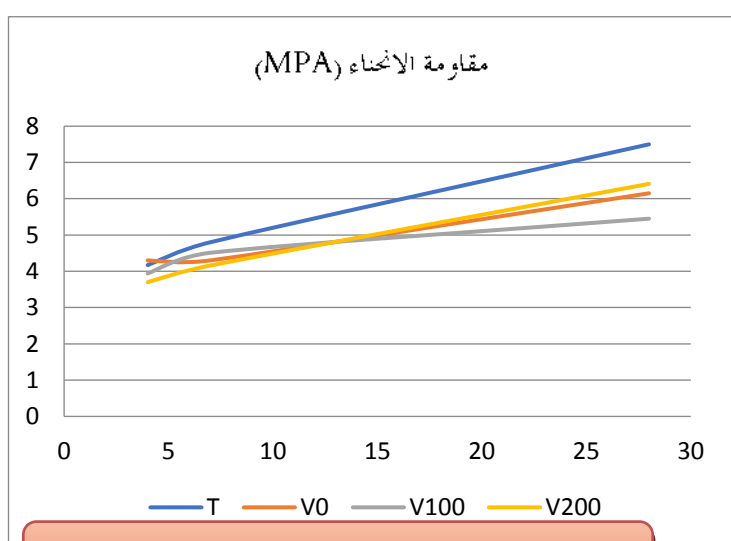
◀ يمثل الشكل (4-09)- مخطط نتائج مقاومة الانختاء لتركيبيات المختلفة للملاط لعمر 28 يوم.



حيث نلاحظ أن العينة الشاهدة أظهرت نتائج أحسن من باقي التركيبيات، كذلك نرى أن العينة V_{100} سجلت أقل نتيجة مقارنة بالملاط الشاهد و كانت نسبة الفرق كمالي : 14.53% ، 27.33% ، 18% على التوالي.

◀ الشكل(4-09)-: مخطط مقاومة الانختاء للملاط لعمر 28 يوم.

◀ تمثل المحنات في الشكل (4-10-4) الاختلاف في قوة الانختاء كدالة لعمر الملاط



◀ الشكل (4-10-4): تطور مقاومة الانختاء كدالة لعمر

يوضح المحنى(4-10-4) تطور مقاومة الانختاء، نلاحظ ان المقاومة تزداد مع زيادة العمر باستثناء العينة (V_0) حيث تقل مقاومة الانختاء فيها في عمر 7 أيام

نلاحظ ان قيمة المقاومة في عمر 4 أيام متقاربة مع جميع التركيبيات الا الترکيبة (V_0) حيث سجلت اعلى قيمة مقارنة بالشاهد، حيث يكون معدل الفرق بينها على التوالي (-3.12%) .

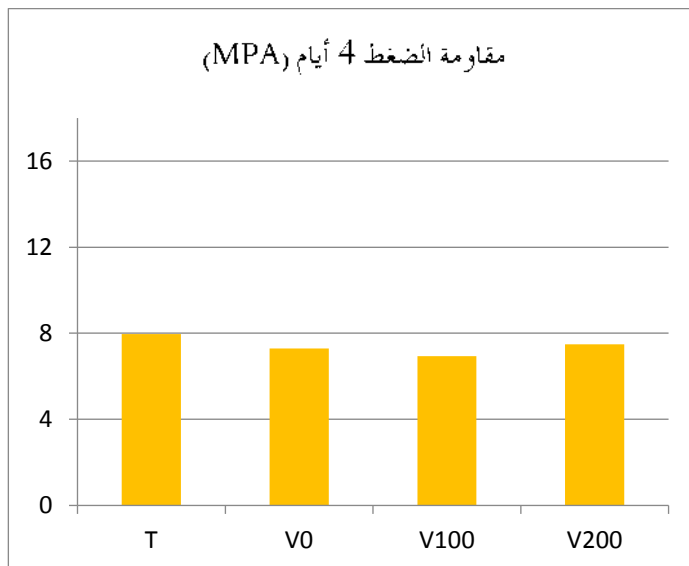
◀ ، للتركيبيات (V_{200}) ، (V_{100}) ، (V_0) مقاومة بالملاط الشاهد.

في عمر 7 أيام نرى ان العينة الشاهدة أظهرت نتيجة أفضل مقارنة بالعينات الأخرى، وتكون نسبة الفرق بينهم (10.42%) ، (6.04%) ، (13.33%) للعينات (V_0) ، (V_{100}) ، (V_{200}) على التوالي مقارنة بالملاط الشاهد .

وفي عمر 28 يوم نلاحظ ان العينة الشاهدة اخذت أكبر مقاومة للإختبار مقارنة بالعينات الأخرى، حيث تكون نسبة الفرق على التوالي (18%) (27.33%) (14.53%) للعينات (V_0) ، (V_{100}) ، (V_{200}) مقارنة بالملاط الشاهد.

VI. مقاومة الضغط:

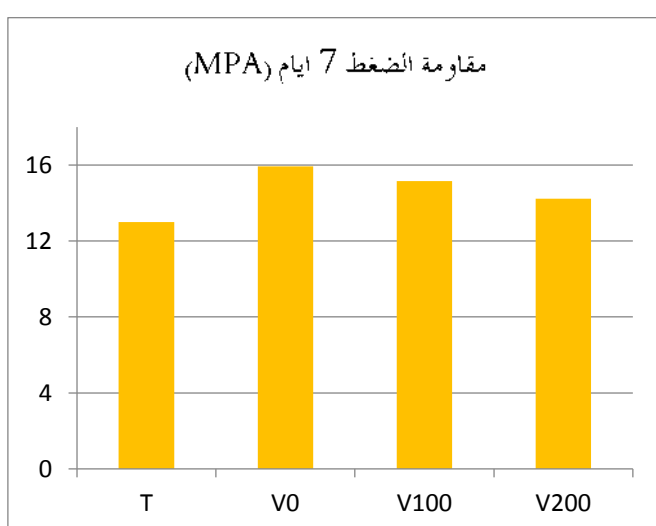
◀ يمثل الشكل (4-11) مخطط مقاومة الضغط للملاط لعمر 4 أيام :



الشكل (4-11): مخطط مقاومة الضغط للملاط لعمر 4 أيام.

نلاحظ أن النتائج متقاربة بين جميع التركيبات، حيث نرى الملاط الشاهد أظهر نتيجة أفضل من التركيبات الأخرى، كذلك نلاحظ أقل نتيجة سجلتها العينة (V_{100}) مقارنة بملاط الشاهد، وكانت نسبة الفرق بينهم على التوالي كما يلي :

(6.03%) (12.81%) (8.42%)



الشكل (4-12): مخطط مقاومة الضغط للملاط لعمر 7 أيام.

- نلاحظ من خلال المخطط أن العينات المضاف إليها مسحوق الزجاج كانت نتائجهم جيدة مقارنة بالملاط الشاهد.

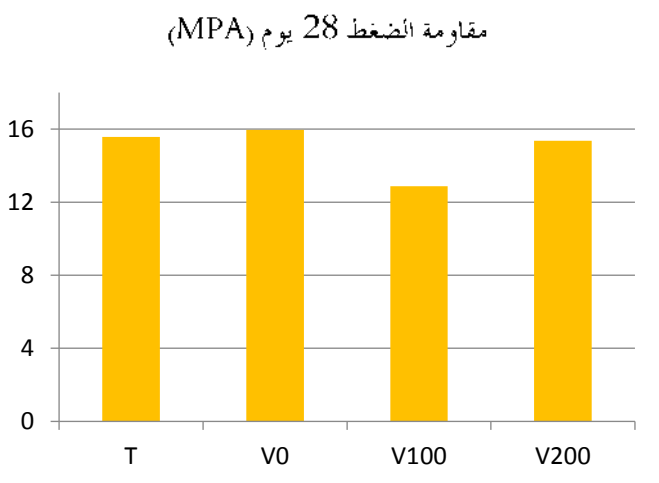
- نرى أن العينة (V_0) أظهرت نتيجة أعلى من باقي العينات

وكانت نسبة الفرق بينهم على التوالي :

(-9.46%) (-16.62%) (-22.62%)

◀ يمثل الشكل (4-13-4) مخطط مقاومة الضغط للملاط لعمر 28 يوم:

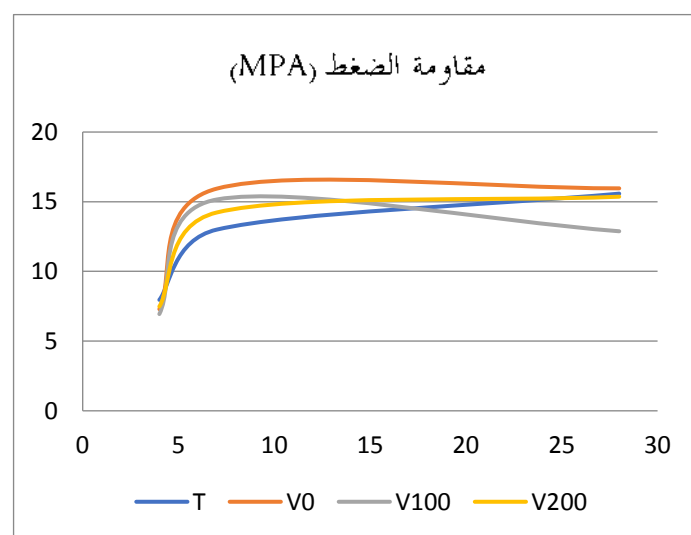
نلاحظ أن العينة (V_0) أظهرت نتيجة أعلى مقارنة بالتركيبيات الأخرى، بالمقابل نلاحظ أن العينة (V_{100}) أظهرت نتيجة منخفضة بالمقارنة مع باقي التركيبات
- كانت نسبة الفرق بين نتائج التركيبات المختلفة على التوالي:
 (-2.44%) , (17.33%) , (1.41%)



الشكل(4-13-4): مخطط مقاومة الضغط للملاط لعمر 28

◀ تمثل المحنات في الشكل (4-14-4) الاختلاف في قوة الضغط كدالة لعمر الملاط:

تمثل المحنات في الشكل (4-14-4) التطور في مقاومة الضغط،



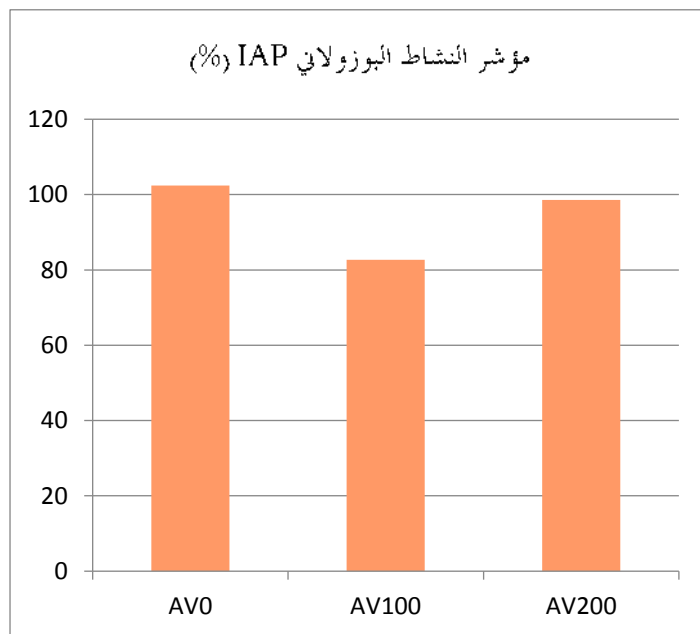
- حيث نسجل نتائج متقاربة في عمر 4 أيام بين التركيبات المختلفة وتكون نسبة الفرق بينها كالتالي (8.42%) , (12.81%) , (6.03%) للعينات (V_{200}), (V_{100}), (V_0) على التوالي مقارنة بالملاط الشاهد.

الشكل (4-14-4): تطور مقاومة الانضغاط كدالة لعمر

- نلاحظ في عمر 7 أيام أن العينات المضاف إليها

مسحوق الزجاج المعادل وغير معادل أظهرت نتائج أفضل مقارنة بالعينة الشاهدة وكانت نسبة الفرق بينهم على التوالي (-22.62%) , (-16.62%) , (-9.46%) للتركيبيات (V_0), (V_{100}), (V_{200}) مقارنة بالملاط الشاهد.

- في عمر 28 يوم نرى انخفاض في نتيجة المينة (V_{100}) من جهة، واستمرار ارتفاع مقاومة الضغط في باقي التركيبات (V_0 ، V_{100} ، V_{200})، و الملاط الشاهد من جهة أخرى، وكانت نسبة الفرق بينهم (2.44%)، (17.33%) ، (1.41%) ، للتركيبات (V_0 ، V_{100} ، V_{200}) على التوالي مقارنة بالملاط الشاهد.



الشكل (15-4): مؤشر النشاط البوزولاني لأنواع

VII. مؤشر البوزولاني

وفقاً للشكل (15-4) تبلغ نسبة IAP حوالي (102.4%) في حالة استبدال 15% من الاسمنت بمسحوق الزجاج بدون معالجة حرارية. (82.7) في حالة استبدال (15%) من الاسمنت بمسحوق الزجاج المعالج حرارياً تحت درجة 100. و (98.6%) في حالة استبدال (15%) من الاسمنت بمسحوق الزجاج المعالج حرارياً تحت درجة 200.

VIII. مناقشة النتائج:

1- مواد البناء المستعملة في تحضير الملاط و نوعيته:

أ- الرمل: من خلال النتائج المحصل عليها تبين ان الرمل تفاضلي، نظيف ونقى وفق المعايير النظامية

[$(NF P94-056)$; $(NFP94-064)$; $(NF P18-301)$; $(NF P 18-555)$; $(NF P18-598)$]

ب- مسحوق الزجاج: من خلال التجارب و المعالجة الحرارية التي أجريناها على الزجاج الشفاف تحصلنا على مسحوق الزجاج بلون ابيض قطر (0.63 ملم)، وتبين لنا بأن خصائص مسحوق الزجاج تتأثر بالمعالجة الحرارية، حيث حدث تغير في نسب المركبات الكيميائية لمسحوق الزجاج بتغير درجة الحرارة.

تـ- الاسمنت: الاسمنت المستعمل من النوع البورتلاندي CPJ CEMII A 32.5Mpa ،من خلال النتائج نلاحظ بأن نسبة الكلنكر CaO في الاسمنت (64.36%) أكبر من نسبة الكلنكر في الزجاج (14.9%, 12%) في حالة مسحوق الزجاج معالج بالحرارة (100 و 200°C) او غير المعالج.

- ونلاحظ أيضاً بأن الكثافة الظاهرية لمسحوق الزجاج (0.988 غ/سم³) أقل من كثافة كل من الرمل (1.575 غ/سم³) والاسمنت (1.085 غ/سم³).

ثـ- خلطة الملاط: أما بالنسبة للملاط فتمت دراسة سلوك عمله وفقاً للمعيار (EN P196-1)، و اعتماداً على

(الجدول -3-04) والنسب الناتجة خلال المجال [20]ـ[30] تحصلنا على النتائج التالية:

- بالنسبة للملاط العادي (الشاهد) فكان ملاط بلاستيكي، بنسبة ($E/C = 0.5$) خلال زمن 24.23 ثانية.
- بالنسبة للملاط المضاف إليه مسحوق الزجاج نسبة (15%) فكان ملاط بلاستيكي، بنسبة ($E/C = 0.52$) خلال الزمن 26.11 ثانية، حيث نلاحظ في هذه النتائج بأن مسحوق الزجاج يمتص الماء .

2- كثافة العينات المحضررة:

للحظ من خلال النتائج أن الكثافة كانت كبيرة في التركيبة (V_{100}) و تتعدي القيم المسجلة في عينات الملاط الشاهد بحسب تراویح بين (0.51%- 2.28%) في عمر 4 أيام. أما بالنسبة لعمر 7 أيام كانت أكبر قيمة للكثافة في التركيبة (V_{200}) و تفوت القيم المسجلة في الملاط الشاهد بحسب تراویح بين (-2.00%)-(-0.37%). و لوحظ في عمر 28 يوم أن أعلى قيمة سجلتها التركيبة (V_{200}) بحسب تراویح بين (0.52%)- (1.03%). مما يعني أن المعالجة الحرارية للزجاج لها تأثير إيجابي على كثافة الملاط في نفس العمر.

أما بالنسبة للتغير بدلالة عمر الملاط فللحظ أن الكثافة تتناقص مع مرور العمر، هذا منطقى لأنه بمرور الوقت يتواصل تخفيف الملاط و بالتالي تتناقص الكتلة الكلية مع الحفاظ على نفس الحجم.

3- انتشار الموجات فوق الصوتية:

بالنسبة لانتشار الموجات فوق الصوتية فللحظ أن انتشار الموجات فوق الصوتية يزداد بين عمر 4 أيام و 7 أيام لكنها تتناقص في عمر 28 يوم. وفق للمعيار (NFP18-418) الموجود في جدول (BONATTI-HMD, 2015) فإن الملاط الشاهد والملاط الذي يحوي نسبة من مسحوق الزجاج هو من النوع الجيد، تعتبر نتائج هذه التجربة غير المدamaة من المؤشرات الأولية ل نوعية الملاط، لكن تبقى التجارب المدamaة (مقاومة الانحناء، مقاومة الضغط) هي القادرة على اثبات المؤشرات المذكورة في التجارب غير المدamaة.

مقارنة بنتائج سابقة (Boulifa, Dababi, 2016)، نلاحظ أن قيمة انتشار الموجات فوق الصوتية في عينات التي تحتوي على مسحوق الزجاج بنسبة (15%) كانت تتراوح بين (3400، 3500)، مقارنة بنتائجنا نجد أن قيمة الانتشار كانت أكبر مقارنة بنتائجهم حيث كانت القيم تتراوح بين (3500، 4200) بين العمرین 4 أيام و 7 أيام أما بالمقارنة مع العمر 28 يوم فكانت نتائجهم أفضل مما توصلنا له. مما يعني أن إضافة مسحوق الزجاج المعالج حراريا له تأثير إيجابي على انتشار الموجات فوق صوتية في العمرین 4 أيام و 7 أيام، أما مع زيادة العمر نستنتج أن سرعة انتشار الموجات فوق صوتية لا ترتبط بزيادة درجة المعالجة الحرارية.

4- مقاومة الانحناء و مقاومة الضغط:

النتائج المحصل عليها أبانت على أن تواجد مسحوق الزجاج المعالج و الغير معالج له تأثير على مقاومة الملاط هذا التأثير يختلف باختلاف درجة حرارة معالجة مسحوق الزجاج. حيث يكون هذا التأثير إيجابي يعزز مقاومة الملاط للتجارب المدamaة أو سلي لا يعزز مقاومة الملاط.

من خلال دراسات سابقة أظهرت النتائج على أن تواجد مسحوق الزجاج بنسبة (15%) تعطي نتائج: كانت نسب الفرق مقارنة بالملاط الشاهد في مقاومة الانحناء (3.35%)، (13.98%)، (19.43%)، للأعمار 4، 7، و 28 يوم على التوالي. بالمقارنة بالنتائج التي تحصلنا عليها مع نتيجة الدراسة السابقة (Boulifa, Dababi, 2016) نرى أن مقاومة الانحناء في عمر 4 أيام كان هناك تقارب مع قيمة العينة V0، كانت نسبة الفرق (-3.12%)، أما بالنسبة للعينات V₂₀₀، V₁₀₀ كان هناك تفاوت في نسبة الفرق مقارنة بالملاط الشاهد (5.52%)، (11.27%).

أما بالنسبة للعمر 7 أيام كانت نتائجنا جيدة بالمقارنة بالنتيجة لديهم (Boulifa, Dababi, 2016) في جميع تركيبات الملاط المختلفة، كذلك الامر مع العمر 28 يوم.

اما بالنسبة لمقاومة الضغط فكانت نسبة الفرق مقارنة بالملاط الشاهد: (1.62%)، (22.34%)، (20.61%)، للأعمار 4، 7، و 28 يوم على التوالي (Boulifa, Dababi, 2016) مقارنة بنتائجنا يتبيّن لنا أن مقاومة الضغط لعمر 4 أيام كان هنالك تباعد في النتائج المحصل عليها، و حصل نفس النتيجة مع عمر 28 يوم، أما بالنسبة لعمر 7 أيام نرى أننا تحصلنا على نتائج أفضل من نتائج دراسة (Boulifa, Dababi, 2016) في جميع التركيبات المختلفة.

في هذه الدراسة قمنا بالمقارنة بين درجتين مختلفتين من الكلسنة ومنه نستنتج أن كلسنة مسحوق الزجاج و استبداله جزئيا بالإسمنت له تأثير سلبي على مقاومة الملاط في الأعمار الطويلة.

5- التفاعل البوزولاني:

اما بالنسبة للنشاط البوزولي (IAP) ،فإن المؤشرات المحسوبة لأنواع الملاط (AV_0 , AV_{100} و AV_{200}) بعد 28 يوماً غير مستقرة بالنسبة للملاط بالزجاج المعالج والغير معالج حرارياً، حيث كانت نسبة $AV_0 = 102.4\%$ و $AV_{100} = 82.7\%$ و $AV_{200} = 98.6\%$. ولكن هذه النتائج أكبر من 75% مما يعني أن النشاط البوزولي إيجابي [ASTM C618].

خاتمة عامة

خاتمة عامة:

الاستبدال الجزئي للإسمنت بمحشوقي الزجاج هي تقنية مستخدمة على نطاق واسع حول العالم (Zainab, Enas ; 2019) إن استبدال جزء من الإسمنت بمحشوقي الزجاج الناعم يعمل على تقليل تصنيع الإسمنت وبالتالي تقليل انبعاثات ثاني أكسيد الكربون في الغلاف الجوي ، كذلك إعادة تدوير النفايات الزجاجية التي يتم حسابها بـ ملايين الأطنان سنوياً (Anwar;2016)

درستنا الحالية ما هي إلا تكميلة لأبحاث سابقة في جامعتنا على الملاط، والتي تهدف إلى ملاحظة تأثير استبدال جزء من الإسمنت بمحشوقي الزجاج على أداء الملاط أو الخرسانة.

ركز عدمنا هذه المرة، على تأثير المعالجة الحرارية على خصائص ممحشوقي الزجاج الذي تم تعويضه جزئياً في الإسمنت، و بالتالي على خصائص الملاط. لهذا تم تحضير تركيبات مختلفة من الملاط، حيث تم إعداد عينات من الملاط الذي يحتوي على ممحشوقي الزجاج المعالج بنسبة 15٪ تحت درجتين مختلفتين (100°C و 200°C) و إعداد ملاط يحتوي على ممحشوقي زجاج غير معالج، و ملاط شاهد للمقارنة.

أظهرت النتائج المتحصل عليها مقارنة بتائج سابقة أن: درجة الحرارة تشتعل التفاعل البوزولي للزجاج و كلسنة الزجاج لها تأثير سلبي على مقاومة الميكانيكية للملاط في التجارب المقدمة.

بالنسبة لانتشار الموجات فوق الصوتية كانت نتائجنا جيدة في الأعمار الصغيرة (4 أيام، 7 أيام)، أما في العمر 28 يوم كانت النتائج مقبولة نوعاً ما. أما بالنسبة لكتافة العينات المحضره فكانت أكبر مقارنة بالنتائج السابقة .

المراجع

- 1- Abdullah Anwar ; (2016). The influence of waste glass powder as a pozzolanic material in concrete
- 2- ASTM C 311; (2017). Standard Test Methods for Sampling and Testing Fly Ash or Natural Pozzolans for Use Annu. B. ASTM Stand.
- 3- Barret. P, Menetrier. D et Cottin. B; (1977). Study of silica-lime solution reactions, Cement and Concrete Research, vol.7, n°1, p.61-67.
- 4-Belferrag. A, kriker. A, et khenfer. E ; (2007). Valorisation des fibres métalliques issues des déchets pneumatiques dans les matériaux de constructions en zones sahariennes. Annales de la Faculté des Sciences et des Sciences de l'Ingénieur, vol. 1, no 2, p. 6-12.
- 5- D'Anhalt S. (2013). Le ciment nous coûte cher en CO₂..... La chaîne Energie. Web site : http://energie.lexpansion.com/habitat/le-ciment-nous-coute-cher-en-co2-_a-39-7910.html .
- 6- European Commission. Environmental Statistics and Accounts in Europe, Eurostat Statistical Books; (2010).
- 7- Idir Rachida; (2009/07). Mécanismes d'action des fines et des granulats de verre sur la réaction alcali-silice et la réaction pouzzolanique.
- 8- IEA Green House R & D; (2004). Emission Reduction of Greenhouse Gases from the Cement Industry. Available at: www.iegreen.org.uk.
- 9-Isabelle F.P ; (2014). Québec, Canada. Revalorisation du verre dans le béton projeté Étude sur le remplacement partiel du ciment par de la poudre de verre en le béton projeté par voie sèche. P34-37.
- 10- Jangid. J, Saoji. A.C; (2014). Experimental investigation of waste glass powder as the partial replacement of cement in concrete production. IOSR Journal of Mechanical and Civil Engineering.

- International Conference on Advances in Engineering & Technology, 55-60.
- 11- Kassem.I.A, H.I.Al-khatib, I.S.Fathi; (2011). “SOME PROPERTIES OF MORTAR WITH CRUSHED GLASS AS FINE AGGREGATE”, Journal for Engineering Sciences.
- 12-kosmatka, kerkhoff, Panarese, Macleod et Mcgrath; (2004). Dosage et contrôle des mélanges de béton 7^eédition, page22.
- 13- Measson. M ; (1981). Etude de l'activité Pouzzolanique de matériaux naturels traités thermiquement, en vue de la réalisation de liants hydrauliques. Thèse de doctorat.
- 14-Mechri. H, Messalta. S; (2021). The Valuation of recycling household solid waste in light of sustainable development requirements – Setif's Ecoset case study.
- 15- Meyer Christian ; 2005 Concrete as a green building material.
- 16- Raju.S, Kumar. PR; (2014). Effect of Using Glass Powder in Concrete. International Journal of Innovative Research in Science, Engineering and Technology 3(5), 421-427.
- 17- Saggai. S, Dahmani. S, Boulifa. M, Debbabi. A; (2019). Waste Glass Powder in mortar: technical and environmental effects.
- 18- Shekhawat. B, et Aggarwal. D; (2014). Utilisation of Waste Glass Powder in Concrete–A Literature Review. International Journal of Innovative Research in Science, Engineering and Technology, vol. 8753.
- 19- Topçu I. B, Canbaz. M; (2004). Properties of concrete containing waste glass. Cement and Concrete Research, 34, 267–274.
- 20- Vijayakumar. G, Vishaliny. H, Govindarajulu. D; (2013). Studies on Glass Powder as Partial Replacement of Cement in Concrete Production. International Journal of Emerging Technology and Advanced Engineering 3(2), 153-157.
- 21-Yacine. C et Zahredine. N ;(2006). Élément es de matériaux de construction et essais. Thèse de doctorat. <http://ams.uokerbala.edu.iq/wp/blog/2017/09/08/page/6/>
- 22- Zainab. Z, Enas. A; (2009). Recycling of wast glass as partial remplacementfon fine aggrerate in concrete, waste management, pages 665-659.

- 23- تحسين كفاءة الطاقة في الصناعات كثيفة الاستهلاك للطاقة الجزء الاول الأمم المتحدة نيويورك، 2005
- 24- خلف حسين و علي الدلبي (2009)،صفحة 345/346، تحطيم الخدمات المجتمعية والبنية التحتية أمس معايير تقنيات. عمان،الأردن: دار صفاء للطباعة والنشر
- 25- د. هدى مسعود (9 فبراير 2001) "إسلام أون لاين" - إعادة التدوير. حيث تلتقي البيئة مع الاقتصاد.
- 26- عبد السلام علي زين العابدين، و محمد بن عبد المرضي عرفات، (2007)،صفحة 45، تلوث البيئة من المدينة، القاهرة، مصر : الهيئة المصرية العامة للكتاب.
- 27- Norme Française NF P 18 -598. Equivalent de sable. Octobre 1991.
- 28- Norme Française NF P18-555. Mesures des masses volumiques, coefficient d'absorption et teneur en eau des sables. Décembre 1990.
- 29- Norme Française NF P 18-558. Détermination de la masse volumique absolue des. Décembre 1990.
- 30- Norme Française NF P 18-560. Analyse granulométrique par tamisage. Septembre 1990.
- 31- Norme Française NF P18-433. Résistance à la flexion sur éprouvettes. Octobre 2001.
- 32- Norme Française NF P18-455. Résistance à la compression des éprouvettes. Février 2003.